

GNSS/LPS/LS based Control and Alarmsystem (GOCA)

Ein geodätischer Beitrag zum Geo-/Anlagen-/Gebäude-Monitoring, zur Deformationsanalyse und -Vorhersage und zum Katastrophenschutz -

Prof. Dr.-Ing. Reiner Jäger



Hochschule Karlsruhe – Technik und Wirtschaft
Faculty of Geomatics
Department Vermessung&Geomatik
International Study Programme Geomatics (MSc)
www.g.hs-karlsruhe.de

Institut für Angewandte Forschung (IAF)
Moltkestrasse 30, D-76133 Karlsruhe
www.goca.info



Honorary Professor of the Siberian State Academy of Geodesy



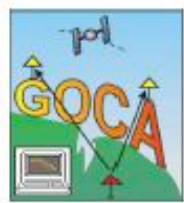
Reiner Jäger

www.goca.info

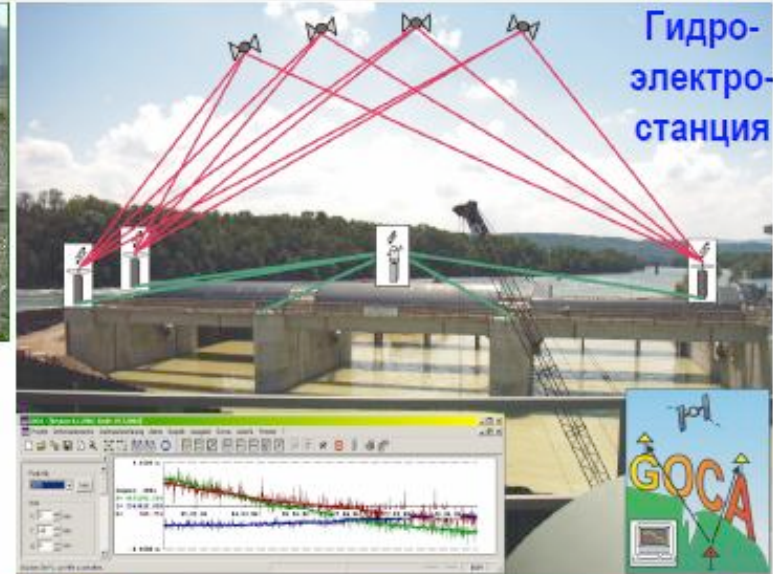
GOCA-Präsentation 230-Jahre-Feier MIIGAIK, 25.-27. Mai 2009

GOCA

Защита от катастроф на основе GNSS/LPS GOCA (GNSS/LPS Online Control & Alarmsystem)



GOCA – онлайн-система непрерывного наблюдения за деформациями, основанная на точных спутниковых (GNSS) и наземных геодезических наблюдениях (LPS).

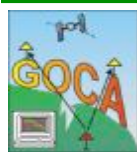
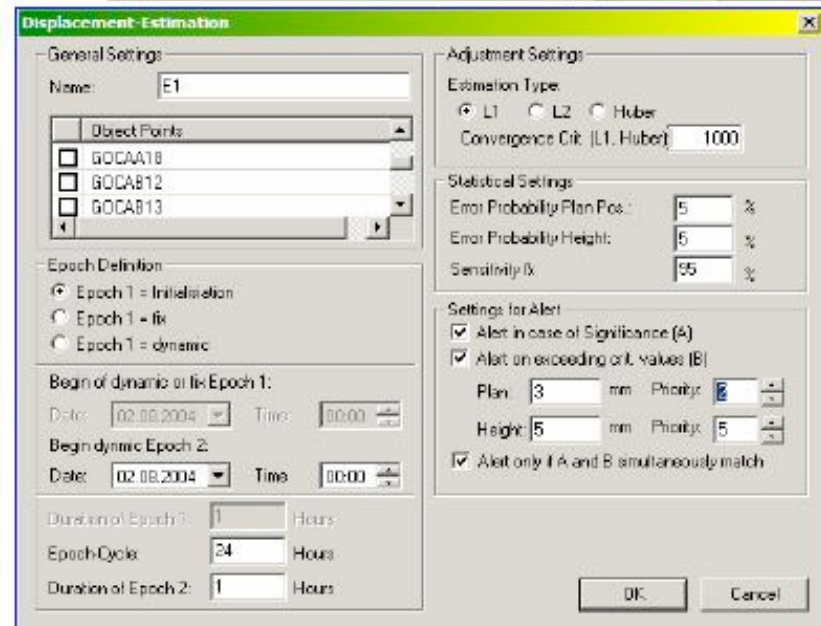
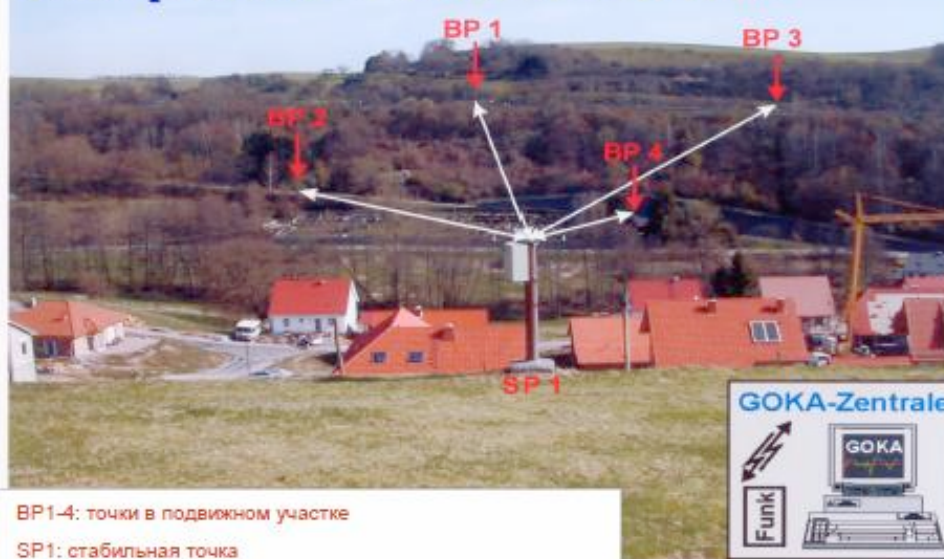


Гидро-электро-станция

Разработки: концепт системы, алгоритмы и ПО

Применение: обнаружение и прогноз деформаций, оповещение при критических состояниях. Система раннего оповещения при природных явлениях (оползни, вулканы), для геотехнических сооружений (туннели, горные разработки, плотины) и зданий. Более 30 установок по всему миру.

Автострада A62 – наблюдение за откосом



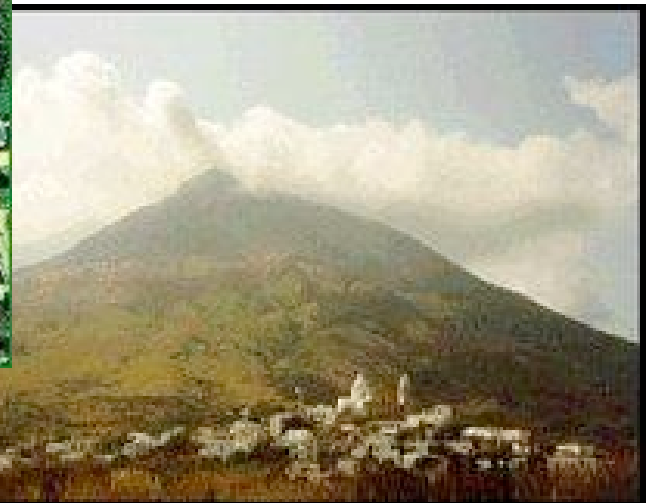
Reiner Jäger

www.goca.info

GOCA-Präsentation 230-Jahre-Feier MIIGAIK, 25.-27. Mai 2009

GOCA

GOCA Anwendungsgebiete Teil 1 - Naturkatastrophenschutz



Reiner Jäger

www.goca.info

GOCA-Präsentation 230-Jahre-Feier MIIGAIK, 25.-27. Mai 2009

GOCA

GOCA Anwendungsgebiete – Teil 2

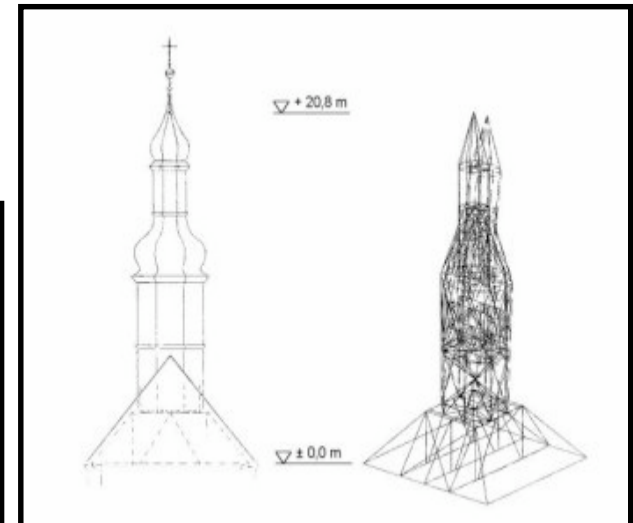


**Monitoring und
Deformationsanalyse
von Bauwerken
bspw. im
Bergbaubereich**

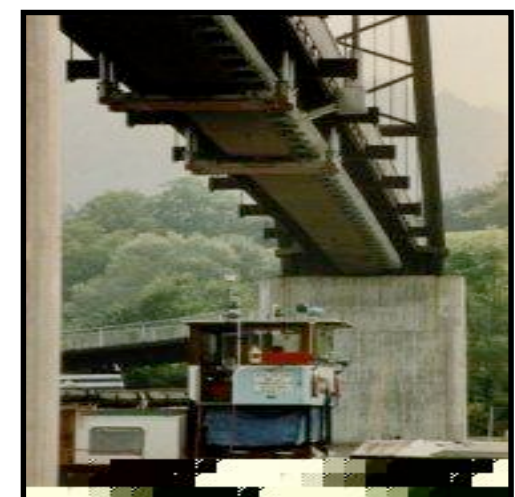
**Bauwerks-Monitoring
und Deformationsanalyse
Statisch & Kinematisch**



**Baustellen
Monitoring**



Bauwerksschwingungen



Reiner Jäger

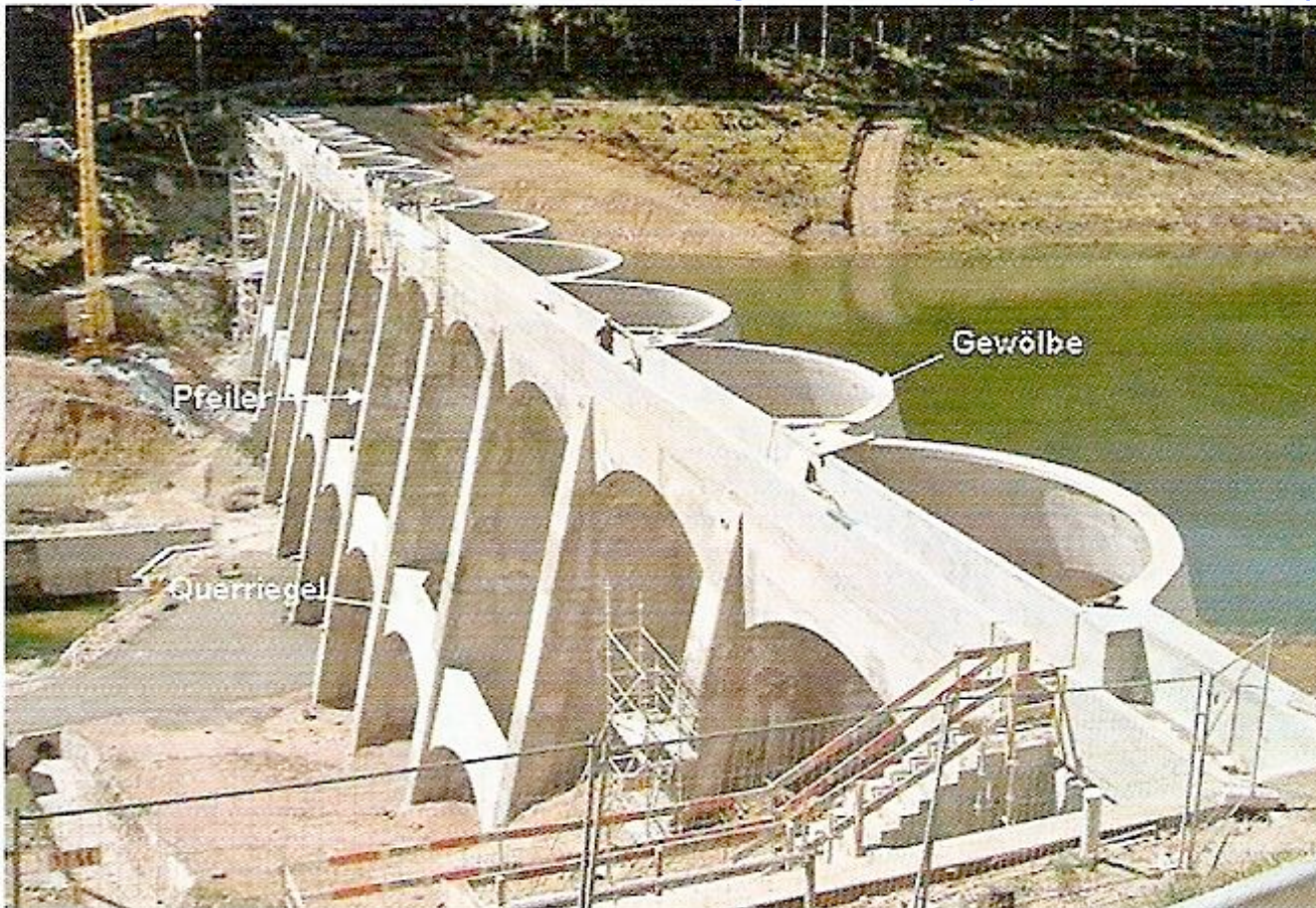
www.goca.info

GOCA-Präsentation 230-Jahre-Feier MIIGAIK, 25.-27. Mai 2009



Standards des Geodätischen Monitoring (Deformationsanalyse)

FIG Commission 6 and Working Groups (~ 1975 - 2009)



Linachtalsperre

Absolutes Deformationsnetz mit Partitionierung in Stabilbereich x_R und Objektbereich x_O



Reiner Jäger

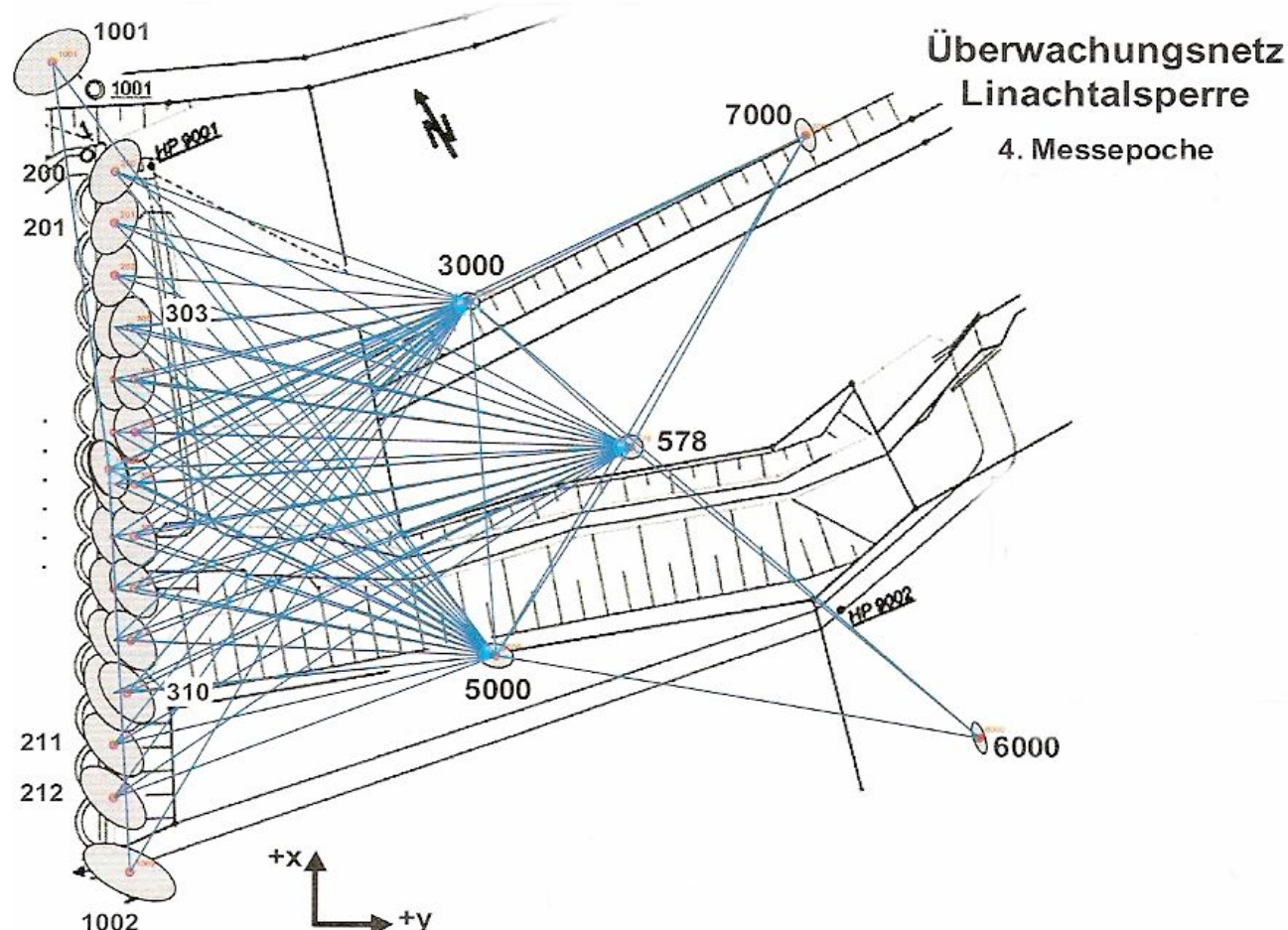
www.goca.info

GOCA-Präsentation 230-Jahre-Feier MIIGAIK, 25.-27. Mai 2009



Standards des Geodätischen Monitoring (Deformationsanalyse)

FIG Commission 6 and Working Groups (~ 1975 - 2009)



Netzausgleichung mit allen Messungen in Epochen bzw. Intervallen. Koordinaten des Stabilbereiches x_R identisch, Objektkoordinaten $x_O(t)$ zeitabhängig



Reiner Jäger

www.goca.info

GOCA-Präsentation 230-Jahre-Feier MIIGAIK, 25.-27. Mai 2009



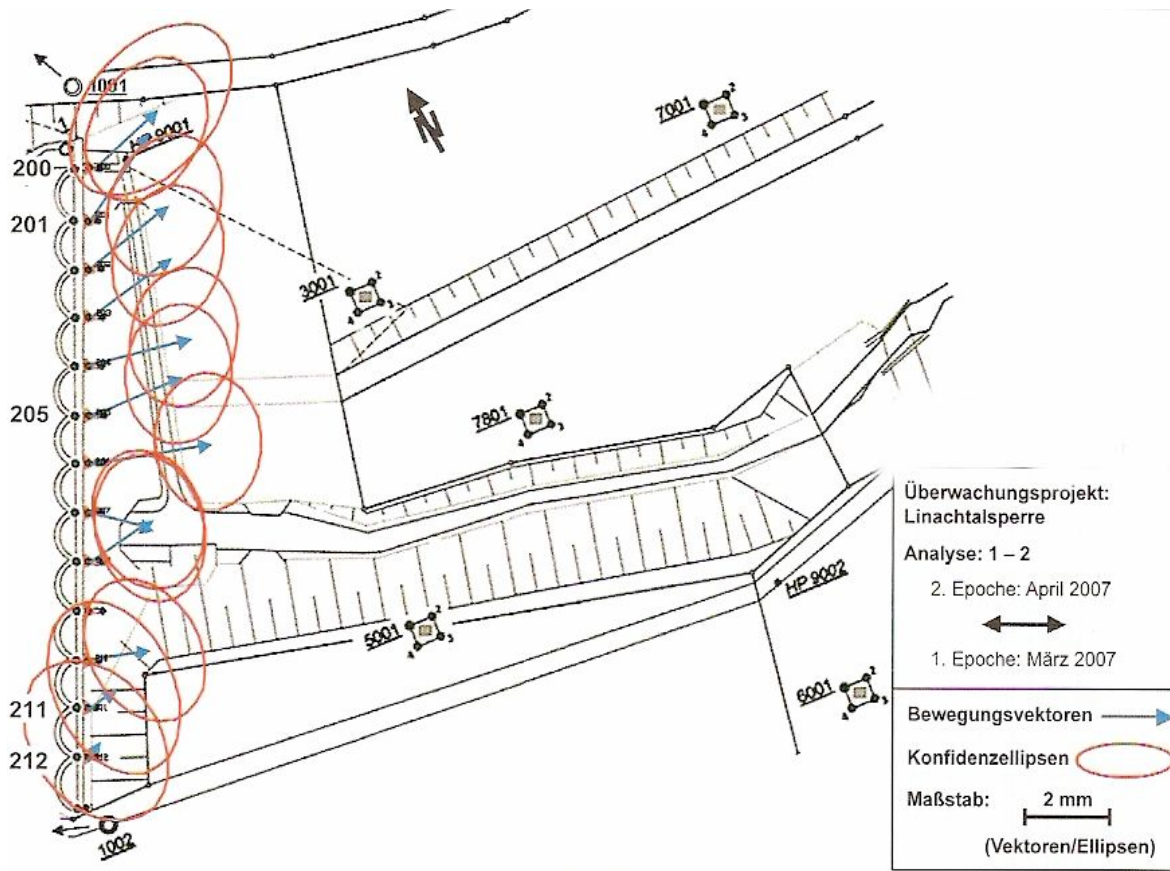
Standards des Geodätischen Monitoring (Deformationsanalyse)

FIG Commission 6 and Working Groups (~ 1975 - 2009)

an der Linachtalsperre

Fachbeitrag

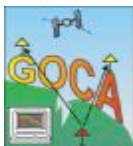
Objektpunkt-Verschiebungen +statistischer Test



pekte festgelegten Standorte für die Referenzpunkte aller Voraussicht nach langfristig ihre Lage nicht verändern und die relativ zu den Referenzpunkten geschätzten Änderungen in den Objektpunktkoordinaten die Deformation des Überwachungsobjektes zwischen entsprechenden Messepochen repräsentieren.

Die grundlegende Problematik bei der Berechnung von Deformationsanalysen liegt darin, dass sich aufgrund der Stochastizität der durchgeföhrten Beobachtungen die geschätzten Epochenkoordinaten im Rahmen der Messgenauigkeit unterscheiden werden, selbst wenn keine realen Deformationen vorliegen. Hier gilt es also durch Anwendung statistischer Tests zwischen vorliegendem Messrauschen und eigentlicher Deformation zu unterscheiden.

Das hier zur Anwendung kommende koordinatenbezogene Verfahren zur Deformationsanalyse geht von den Ergebnissen \mathbf{x}_i (Koordinaten) und $C_{\mathbf{x},i}$ (Kovarianzmatrizen) der Einzelepochen ausgleichungen aus. Es bietet gegenüber den beobachtungsbezogenen Verfahren der Deformationsanalyse den Vorteil, dass lediglich die Endergebnisse der Einzelepochen ausgleichungen nicht aber das hierzu verwendete Beobachtungsmaterial für die nachfolgenden Analysen zu archivieren sind. Nachfolgend wird kurz auf die einzelnen Stufen des Analysekonzepths eingegangen, wie es in Karlsruhe in dem Softwarepaket CODEKA2D umgesetzt und z. B. in (Jäger et al. 2005) näher beschrieben ist. Dabei werden nur die Schritte der Deformationsanalyse näher erläutert, auf die bei Vorstellung der Beispiele in Kap. 5.2 Bezug genommen wird.



Reiner Jäger

www.goca.info

GOCA-Präsentation 230-Jahre-Feier MIIGAIK, 25.-27. Mai 2009

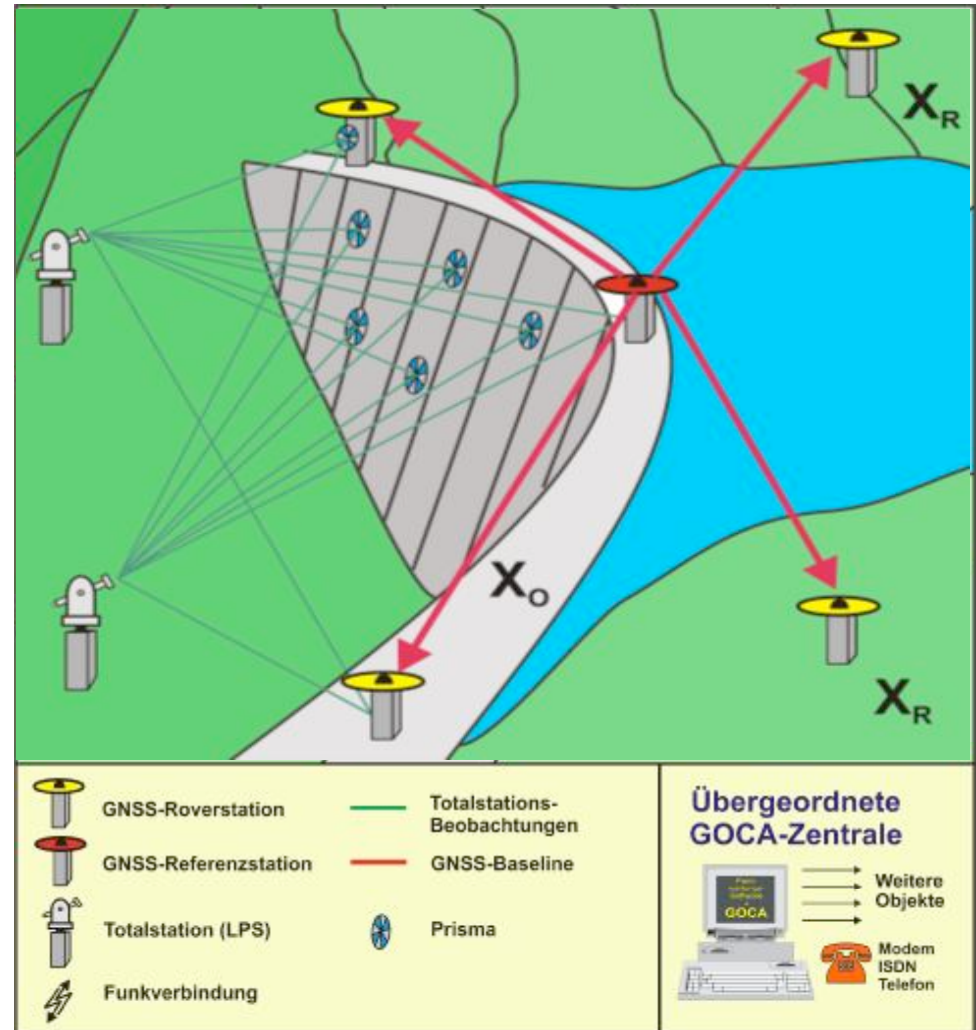


GOCA – System und – Software (HSKA)

GOCA = GNSS/LPS based Online Control and Alarm System

Ziele des GOCA_Systems

- Online 3D- Monitoring mittels GNSS/GPS/LPS (Totalstationen, Nivelliere etc.) und zusätzlich LS.
- Online 3D-Georeferenzierung der Objektpunkte im Datum der Referenz- oder Stabilpunkte im Sinne einer Klassischen Deformationsnetzes (GNSS/LPS).
- Online Deformationsanalyse (Verschiebungsschätzungen, Kalmanfilterung bzgl. Koordinaten/Verschiebungen und LS-Zustandsgrößen $z(t)$). Statistische Tests.
- Automatische Alarmierung.



Reiner Jäger

www.goca.info

GOCA-Präsentation 230-Jahre-Feier MIIGAIK, 25.-27. Mai 2009

GOCA

GOCA - Sensorintegration

Absolutes Deformationsnetz $y = (x_R, x_o(t))$
Geodätische Netzausgleichung



Standardsensoren $I=I(x)$
GPS/GNSS , Totalstationen
Nivelliere, Schlauchwaagen

Sensor-
Integration

Gemeinsame Ausgleichung der $I(x,t)$:
Eindeutiger Satz 3D-Koordinaten pro Objektpunkt und Zeit t

„Lokale LPS Gruppen“



$$\begin{aligned}\Delta H_{ij,GPS}(t) + v &= \hat{\Delta} H_{ij}(t) \\ \Delta R_{ij,GPS}(t) + v &= \hat{\Delta} R_{ij}(t) \\ \Delta h_{ij,GPS}(t) + v &= \hat{\Delta} h_{ij}(t) \\ r_{ij}(t) + v &= \arctan\left(\frac{\hat{\Delta} R_{ij}}{\hat{\Delta} h_{ij}}\right)^t - \hat{o} \\ s_{ij}(t) + v &= (\hat{m} \cdot \sqrt{\hat{\Delta} R_{ij}^2 + \hat{\Delta} h_{ij}^2})^t \\ \Delta H_{ij}(t) + v &= \hat{\Delta} h_{ij}(t) + \hat{A} \cdot \Delta R_{init} + \hat{B} \cdot \Delta H_{Init} + \hat{C} \cdot \Delta h\end{aligned}$$



Reiner Jäger

www.goca.info

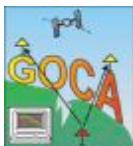
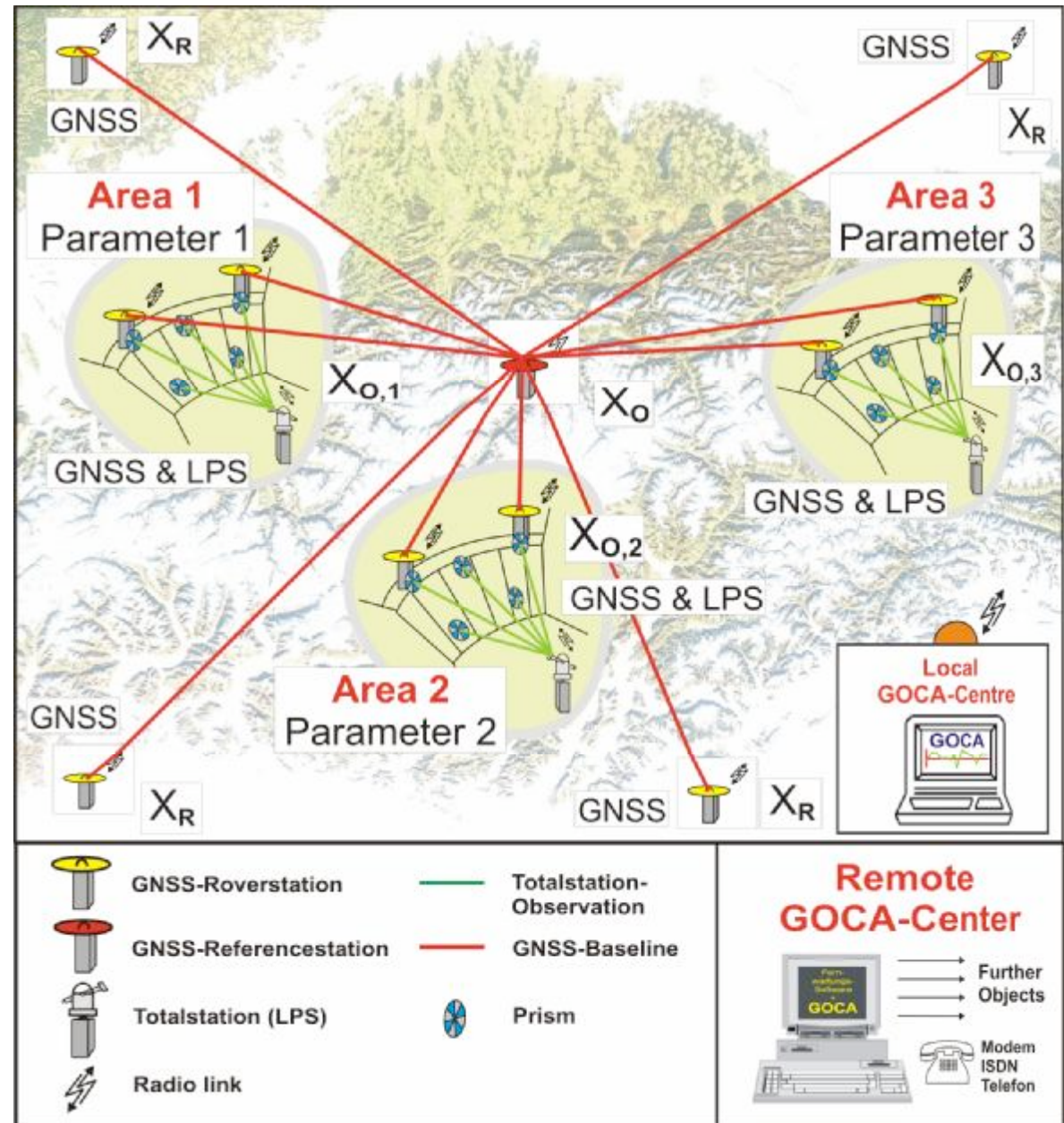
GOCA-Präsentation 230-Jahre-Feier MIIGAIK, 25.-27. Mai 2009

GOCA

GOCA-Software Version 4.0

-Design und Modell- bildung

- Reines GNSS Array
- Reines LPS Array
- GNSS & LPS Array
 - Mehrere Gebiete
 - GNSS als Referenz-Rahmen X_R
 - Sonderfall: 1 Gebiet



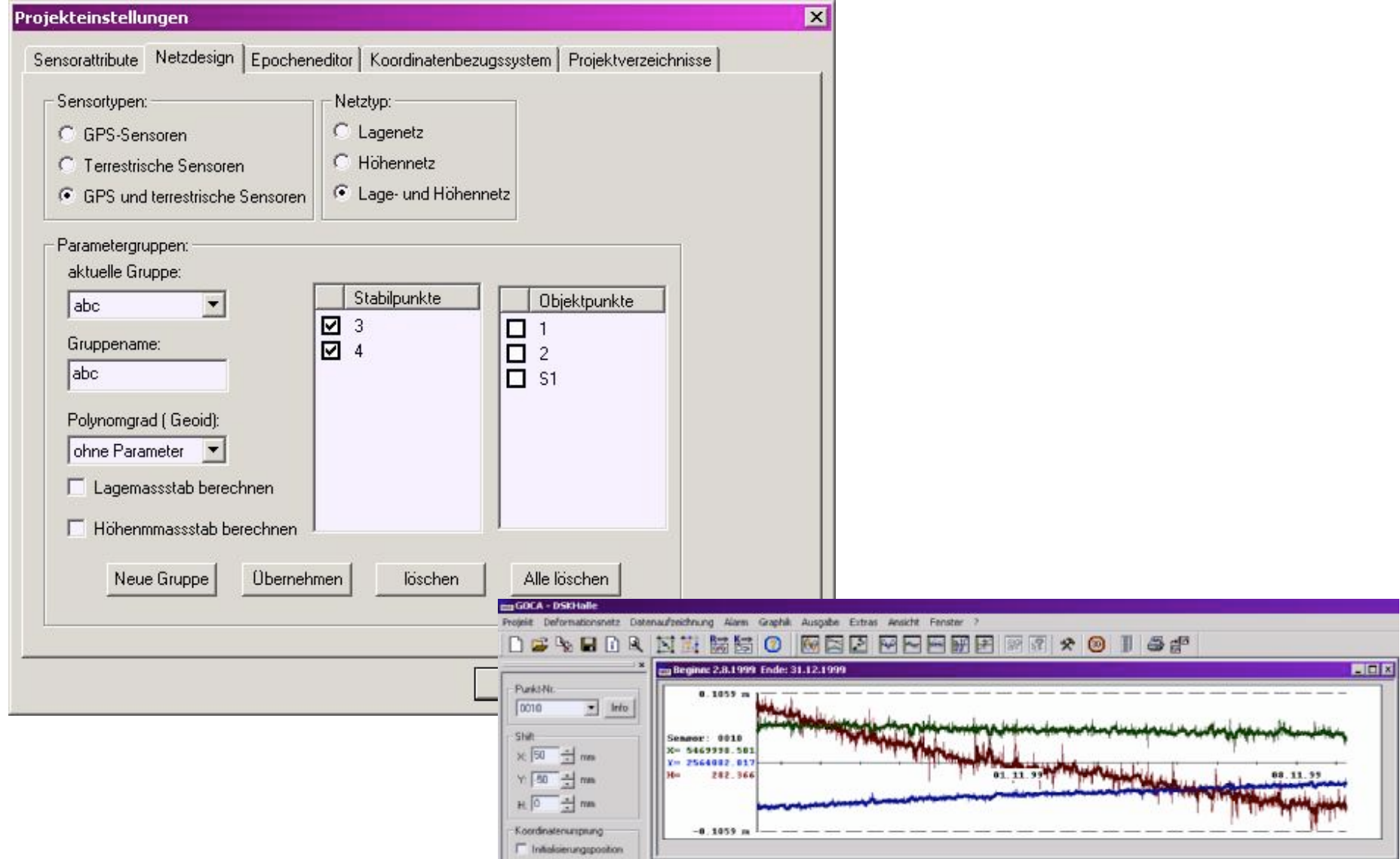
Reiner Jäger

www.goca.info

GOCA-Präsentation 230-Jahre-Feier MIIGAIK, 25.-27. Mai 2009

GOCA

GOCA – Netzdesign-Definition



Reiner Jäger

www.goca.info

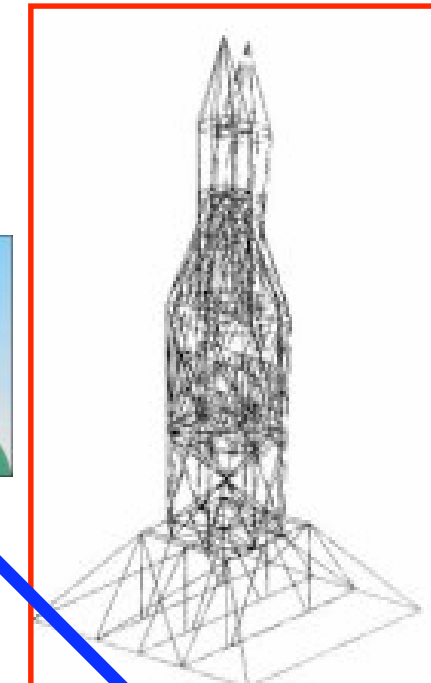
GOCA-Präsentation 230-Jahre-Feier MIIGAIK, 25.-27. Mai 2009



GOCA Stufe 3 - Kalmanfilterung („KAL-Files“)

Deskriptive Model – Simple Kalman-Filter

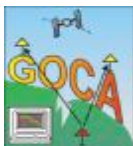
$$\begin{bmatrix} \mathbf{u}_O(t + \Delta t) \\ \dot{\mathbf{u}}_O(t + \Delta t) \\ \ddot{\mathbf{u}}_O(t + \Delta t) \end{bmatrix} = \begin{bmatrix} \mathbf{I} & [\Delta t] & \left[\frac{1}{2} \Delta t^2 \right] \\ 0 & \mathbf{I} & [\Delta t] \\ 0 & 0 & \mathbf{I} \end{bmatrix} \cdot \begin{bmatrix} \mathbf{u}_O(t) \\ \dot{\mathbf{u}}_O(t) \\ \ddot{\mathbf{u}}_O(t) \end{bmatrix}$$



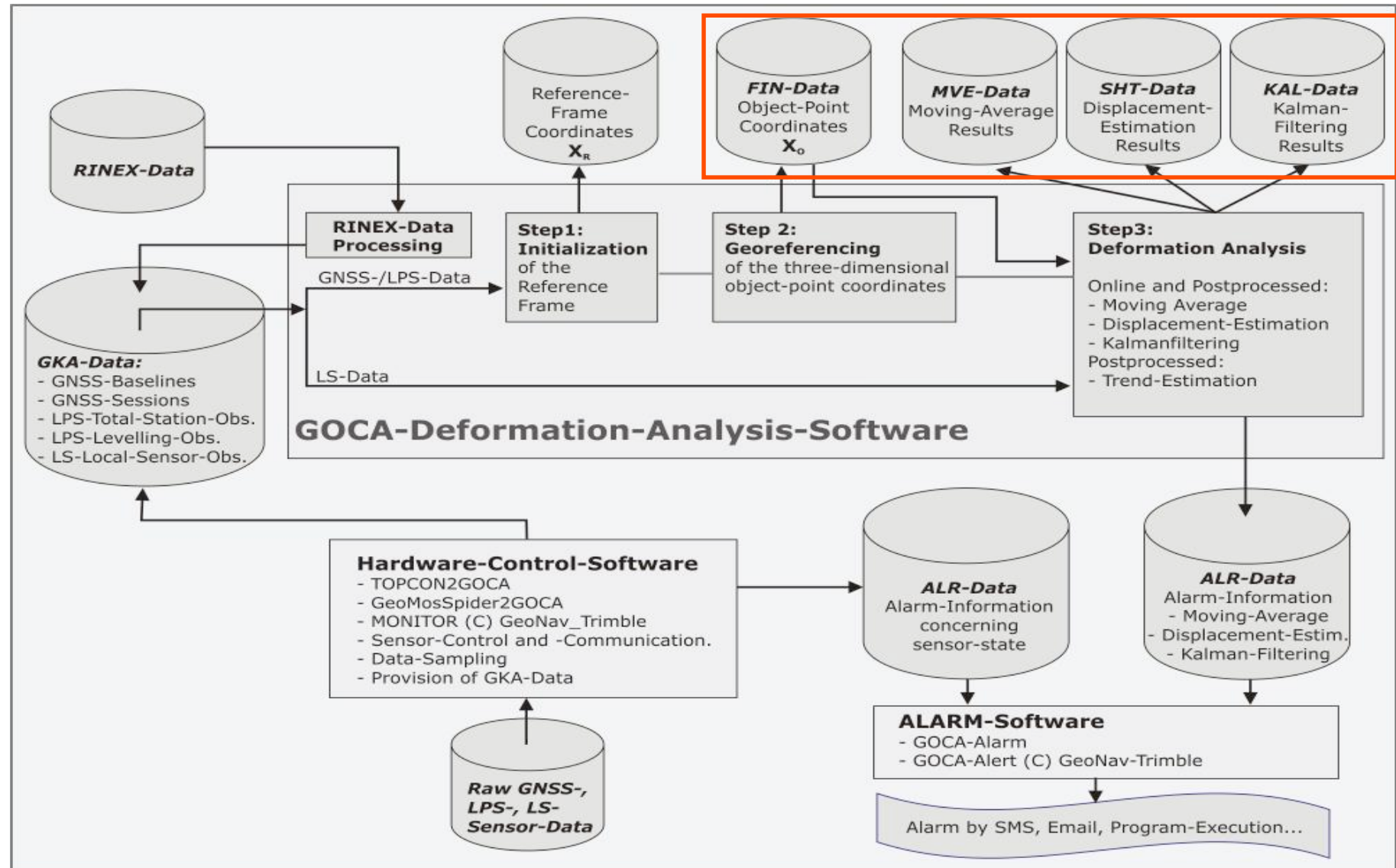
Systemanalyse-Modell – Erweiterter Kalman- Filter

E.g. bei Eigenschwingungen:

$$\begin{bmatrix} \mathbf{u}_O(t + \Delta t) \\ \dot{\mathbf{u}}_O(t + \Delta t) \\ \ddot{\mathbf{u}}_O(t + \Delta t) \end{bmatrix} = \begin{bmatrix} \mathbf{I} & [\Delta t] & \left[\frac{1}{2} \Delta t^2 \right] \\ 0 & \mathbf{I} & [\Delta t] \\ 0 & [-\mathbf{M}(\mathbf{p}_M)^{-1} \cdot \mathbf{K}(\mathbf{p}_K) \cdot \Delta t] & [\mathbf{I} - \mathbf{M}(\mathbf{p}_M)^{-1} \cdot \mathbf{C}(\mathbf{p}_C) \cdot \Delta t] \end{bmatrix} \cdot \begin{bmatrix} \mathbf{u}_O(k) \\ \dot{\mathbf{u}}_O(k) \\ \ddot{\mathbf{u}}_O(k) \end{bmatrix}$$



GOCA-Ablaufschema / Algorithmen und Input/Output-Schnittstellen

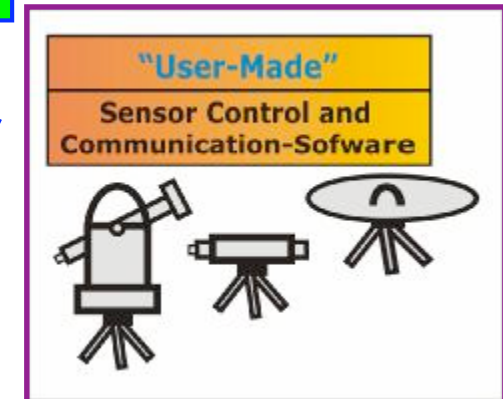


Reiner Jäger

www.goca.info

GOCA-Präsentation 230-Jahre-Feier MIIGAIK, 25.-27. Mai 2009

GOCA



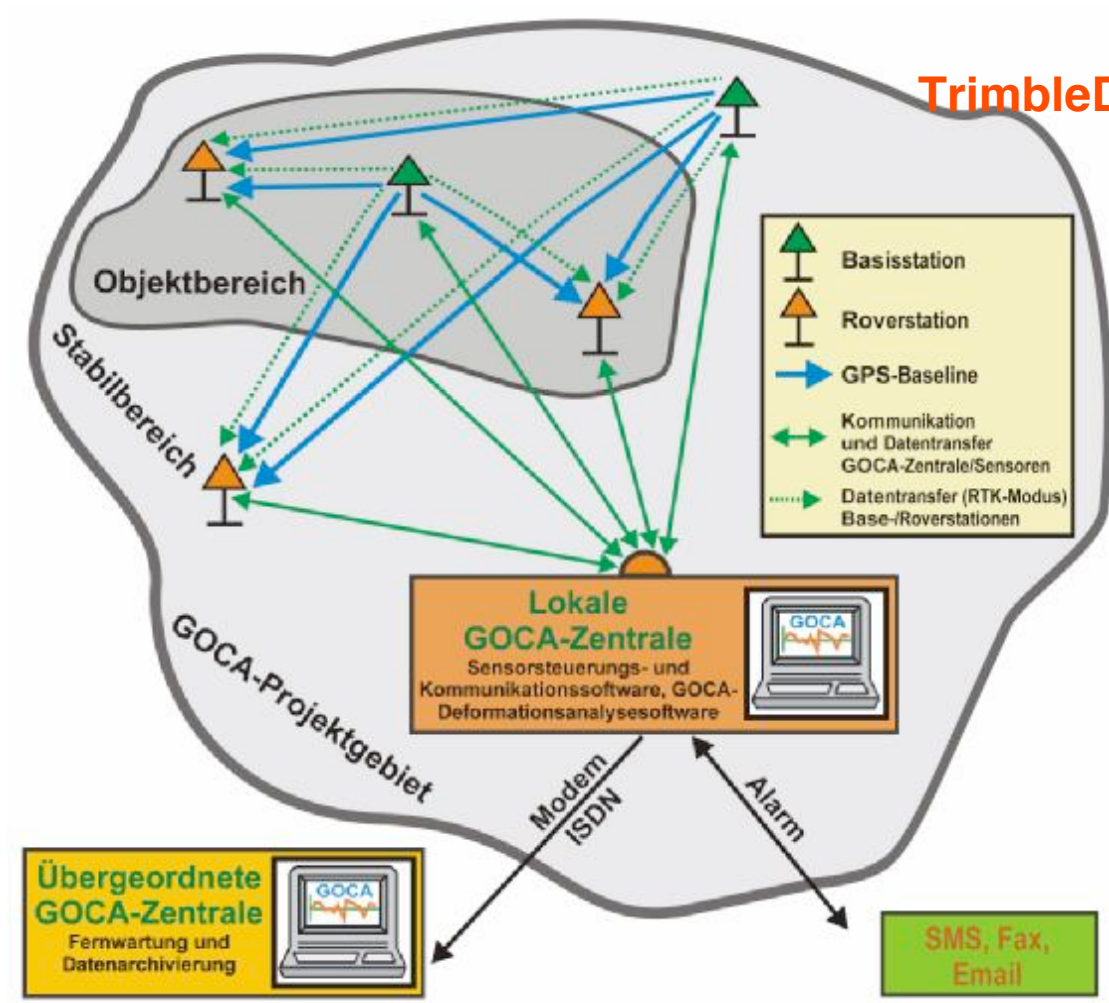
Reiner Jäger

www.goca.info

GOCA-Präsentation 230-Jahre-Feier MIIGAIK, 25.-27. Mai 2009

GOCA

GOCA-Datenkommunikation



Vattenfall Europe



Reiner Jäger

www.goca.info

GOCA-Präsentation 230-Jahre-Feier MIIGAIK, 25.-27. Mai 2009

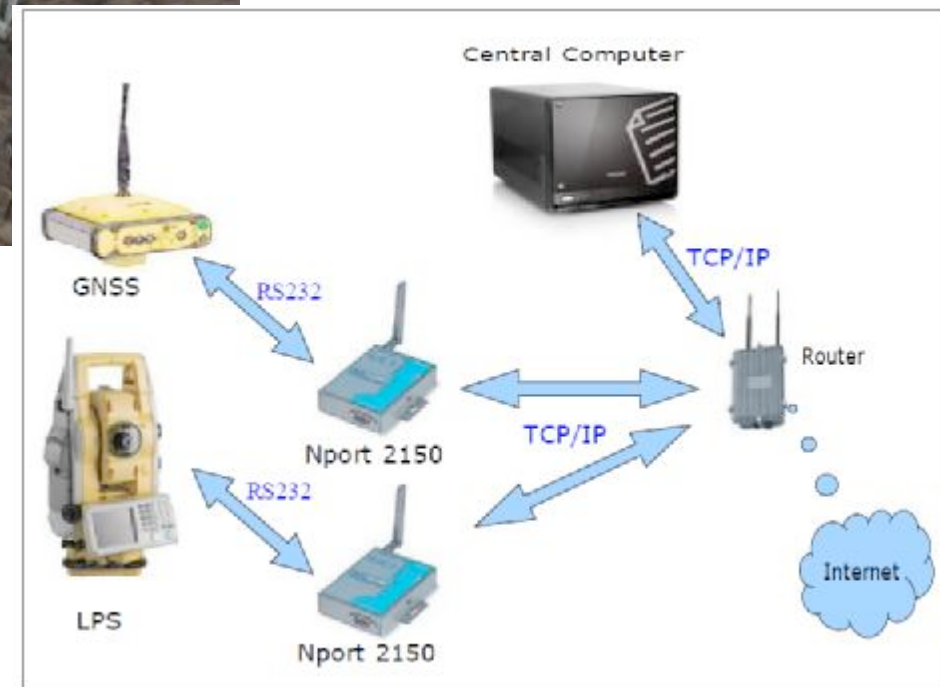
GOCA

GOCA-Datenkommunikation. Realisierung bei Topcon



Topcon

Topcon_2_GOCA © HSKA



Reiner Jäger

www.goca.info

GOCA-Präsentation 230-Jahre-Feier MIIGAIK, 25.-27. Mai 2009

GOCA



Datenkommunikation bei Leica-Geosystems

GeoMOS/Spider
_2_GOCA
 © GOCA-Projekt
 Karlsruhe

RTK Einstellungen

Netzpunktname	Sensortyp	Antennentyp	Antennenhöhe
PC-LEICA	AT502	0.0000	
LEI2	AT502	0.0000	
LEI3	AT502	0.0000	

Hauptpfad der RTL Dateien: D:\VRT-Positioning

Basis-Rover-Zuordnung

Basisstationen:

- Netzpunktname: LEI2
- Entfernen
- Alle Entfernen

Roverstationen zur gewählten Basis:

- Netzpunktname: PC-LEICA, LEI3
- Entfernen
- Alle Entfernen

OK Abbrechen



LeicaGeosystems, Düsseldorf
(Arbeitssitzung 2.5.2009)

Linedriver Box
WLAN => UMTS => Büro

- GeoMos-Ansteuerung
- Temperatur, Luftdruck

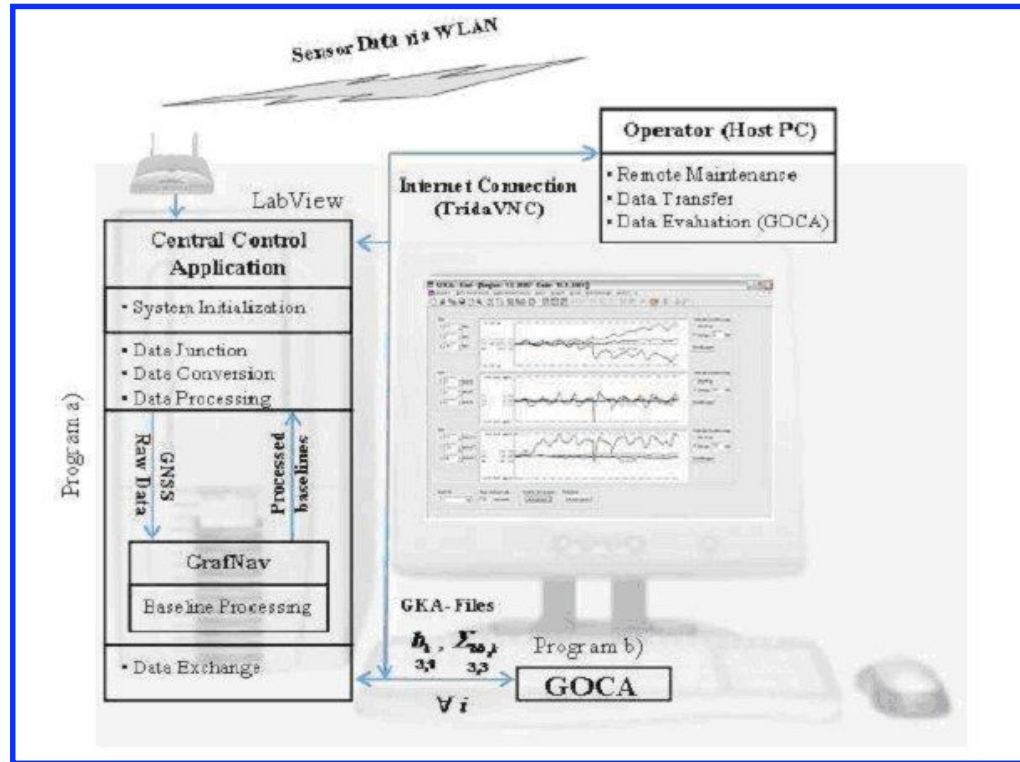


Reiner Jäger

www.goca.info

GOCA-Präsentation 230-Jahre-Feier MIIGAIK, 25.-27. Mai 2009





Satelliten-Kommunikation

Beispiel

Installationen von GOCA
in den Alpen
AlpEWAS
(Frühwarnsysteme)



Reiner Jäger

www.goca.info

GOCA-Präsentation 230-Jahre-Feier MIIGAIK, 25.-27. Mai 2009

GOCA

GOCA-Alarm

Displacement-Estimation

General Settings
Name: E1

Object Points
 GOCAA18
 GOCAB12
 GOCAB13

Epoch Definition
 Epoch 1 = Initialisation
 Epoch 1 = fix
 Epoch 1 = dynamic

Begin of dynamic or fix Epoch 1:
Date: 02.08.2004 Time: 00:00

Begin dynamic Epoch 2:
Date: 02.08.2004 Time: 00:00

Duration of Epoch 1: 1 Hours
Epoch-Cycle: 24 Hours
Duration of Epoch 2: 1 Hours

Adjustment Settings
Estimation Type:
 L1 L2 Huber
Convergence Crit. (L1, Huber): 1000

Statistical Settings
Error Probability Plan Pos.: 5 %
Error Probability Height: 5 %
Sensitivity β : 95 %

Settings for Alert
 Alert in case of Significance (A)
 Alert on exceeding crit. values (B)
Plan: 3 mm Priority: 2
Height: 5 mm Priority: 5
 Alert only if A and B simultaneously match

OK Cancel

GOCA-Alarm

Einstellungen | Alarm-Blitzer | Alarm-eMail | Alarm-SMS |

Alarmdatei
C:\GOCA.alr Öffnen

Adressbuch
Name Handynummer eMailadresse
Hans Meier 01761234567
Peter Müller 01767654321
Neu
Löschen
Bearbeiten

Sprachen
 ?

zusätzliche Alarne
Alarne definieren

aktivieren Beenden Übernehmen



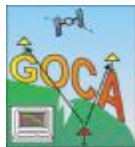
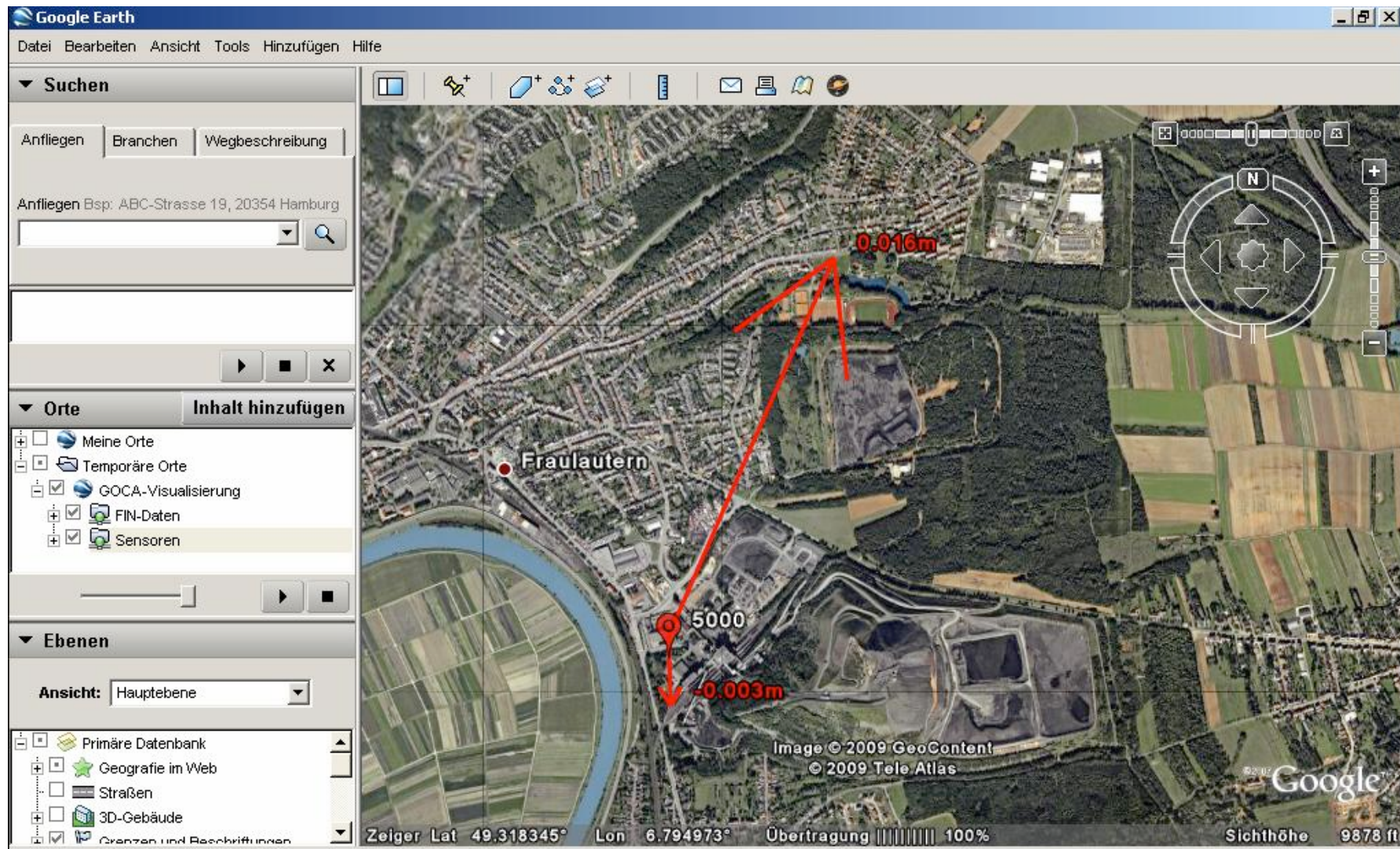
Reiner Jäger

www.goca.info

GOCA-Präsentation 230-Jahre-Feier MIIGAIK, 25.-27. Mai 2009

GOCA

Visualisierung mit GOCAEarth



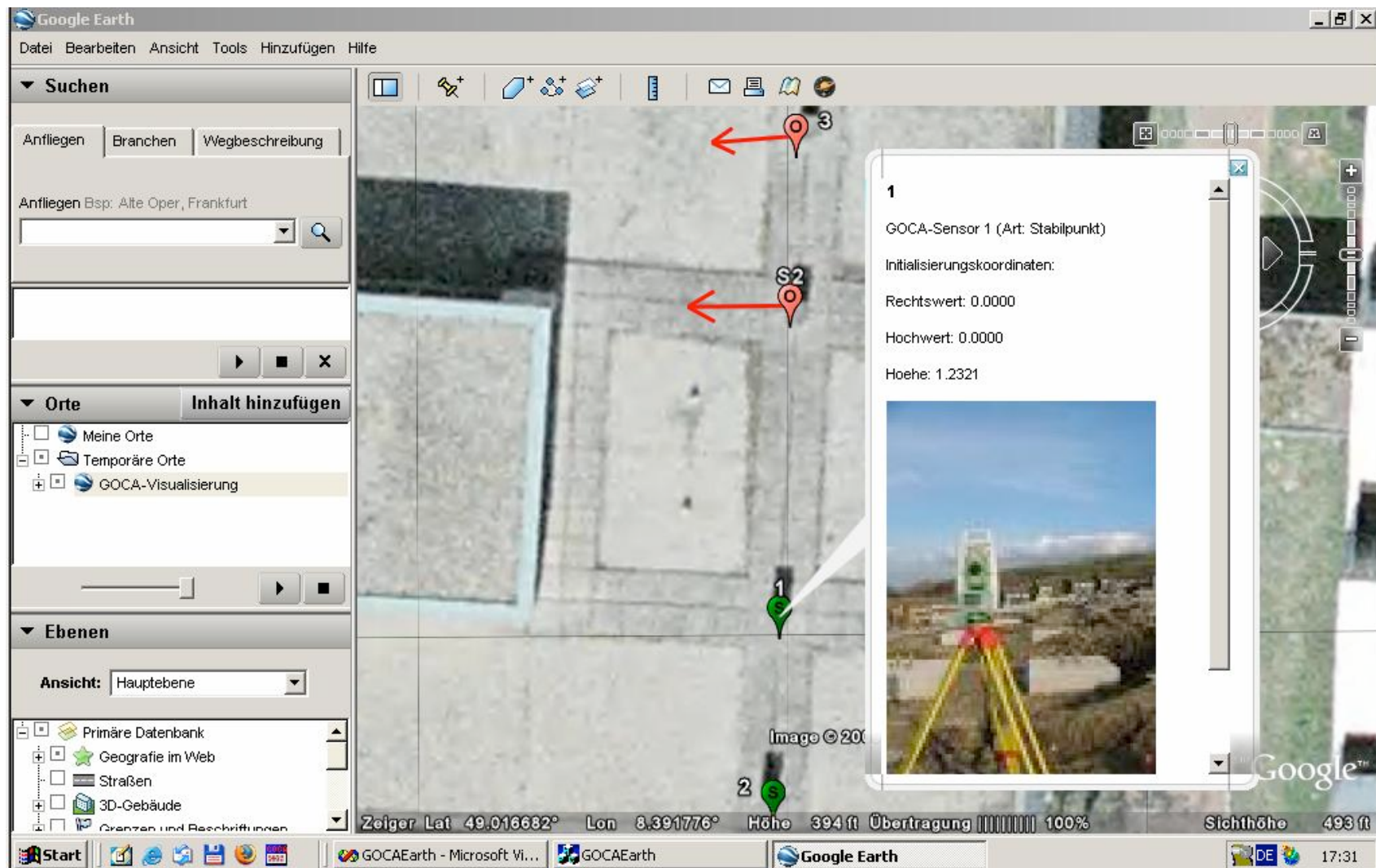
Reiner Jäger

www.goca.info

GOCA-Präsentation 230-Jahre-Feier MIIGAIK, 25.-27. Mai 2009

GOCA

Visualisierung mit GOCAEarth



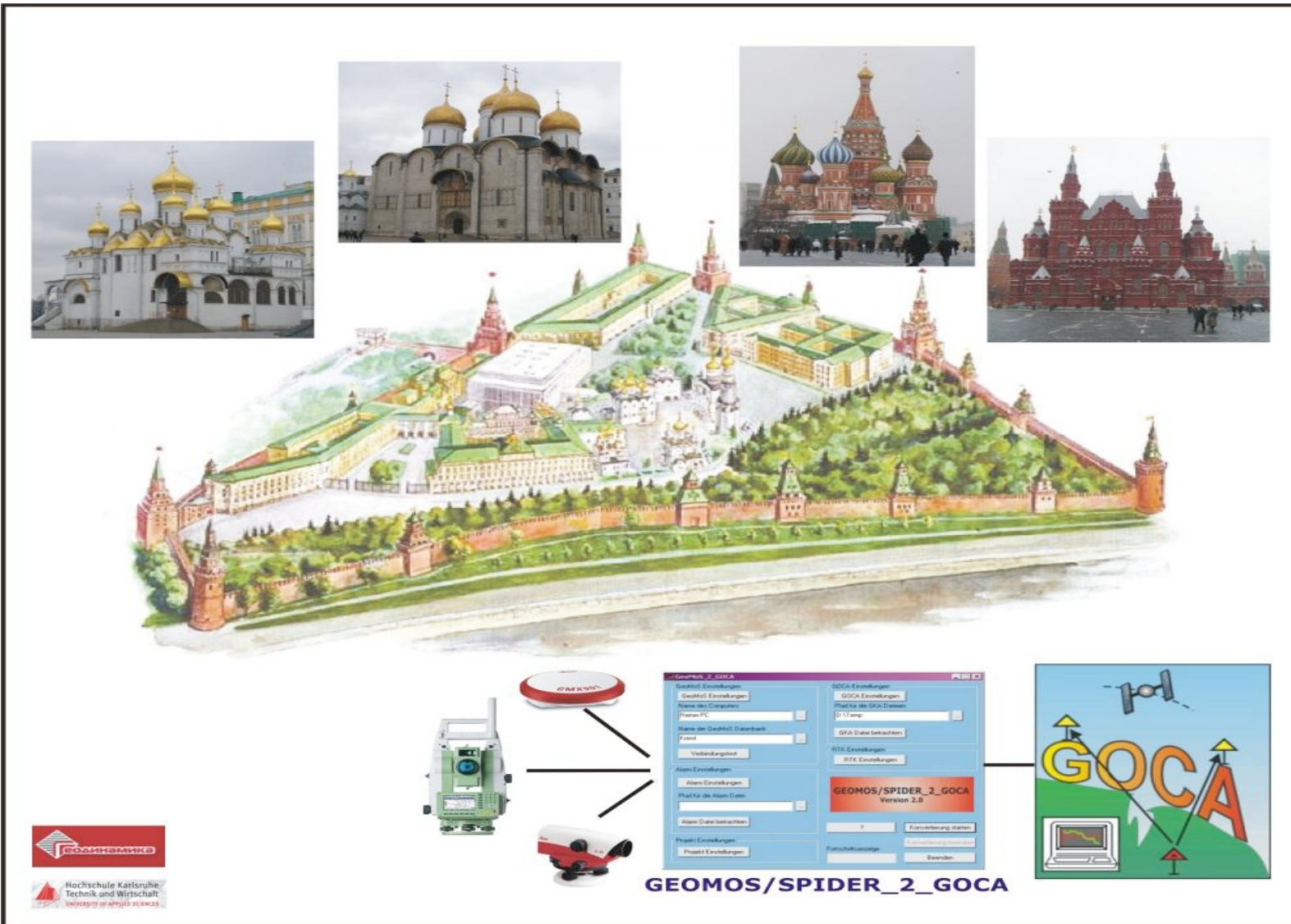
Reiner Jäger

www.goca.info

GOCA-Präsentation 230-Jahre-Feier MIIGAIK, 25.-27. Mai 2009

GOCA

GOCA-Projekte in Russland



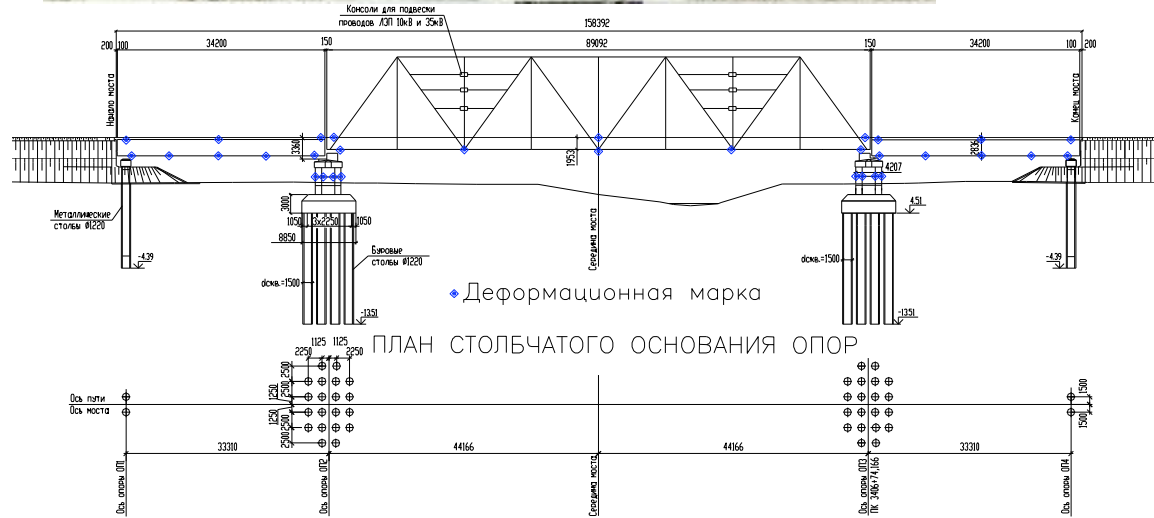
Reiner Jäger

www.goca.info

GOCA-Präsentation 230-Jahre-Feier MIIGAIK, 25.-27. Mai 2009

GOCA

GOCA-Projekte in Russland



Stabilpunktsituation



Nur möglich mit
GNSS + LPS



Reiner Jäger

www.goca.info

GOCA-Präsentation 230-Jahre-Feier MIIGAIK, 25.-27. Mai 2009



Geodätisches Monitoring Mainz – Hochschule Karlsruhe

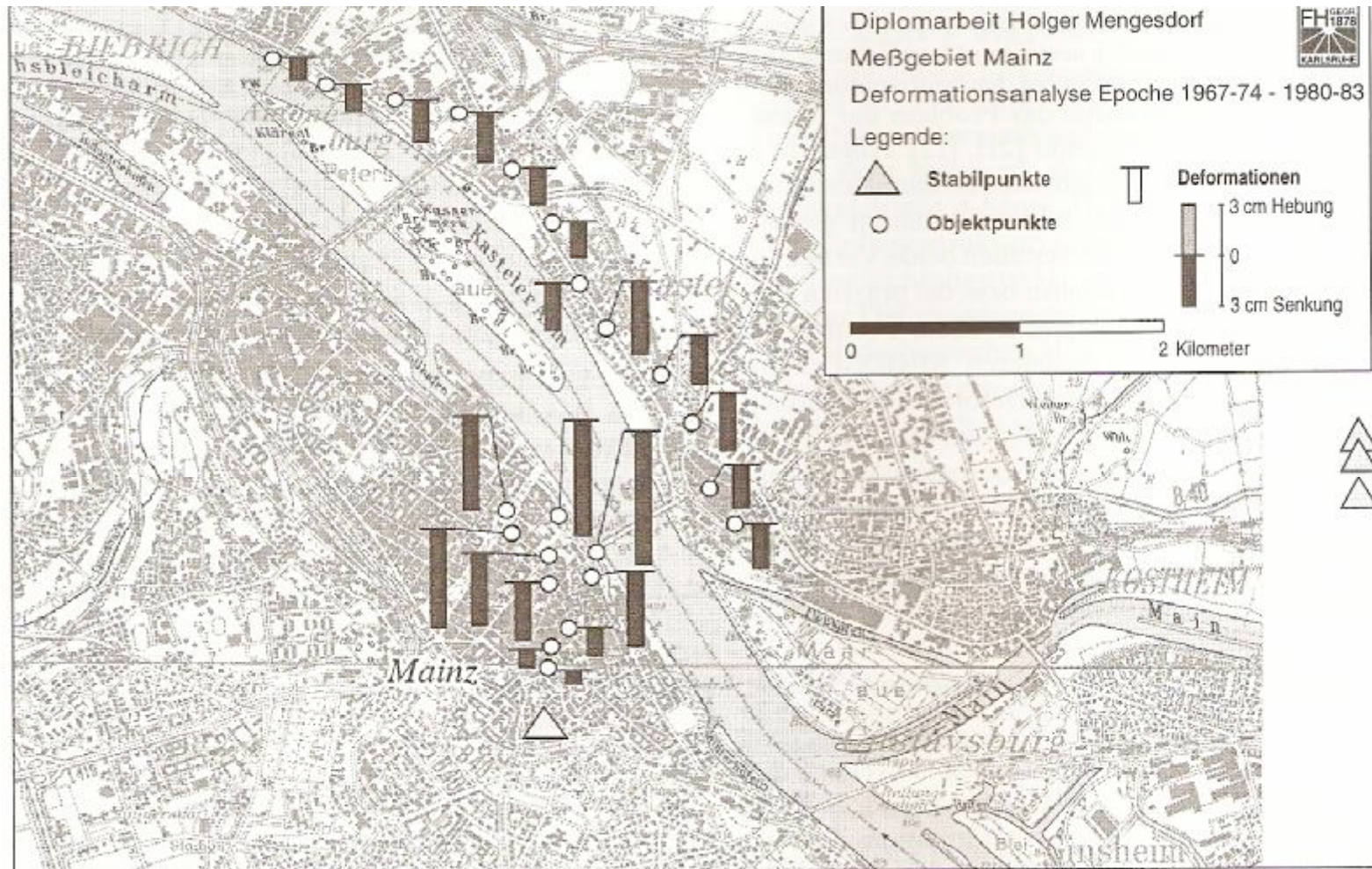


Abb. 3: Ergebnisse der Deformationsanalyse Epoche 2 – Epoche 3



Reiner Jäger

www.goca.info

GOCA-Präsentation 230-Jahre-Feier MIIGAIK, 25.-27. Mai 2009

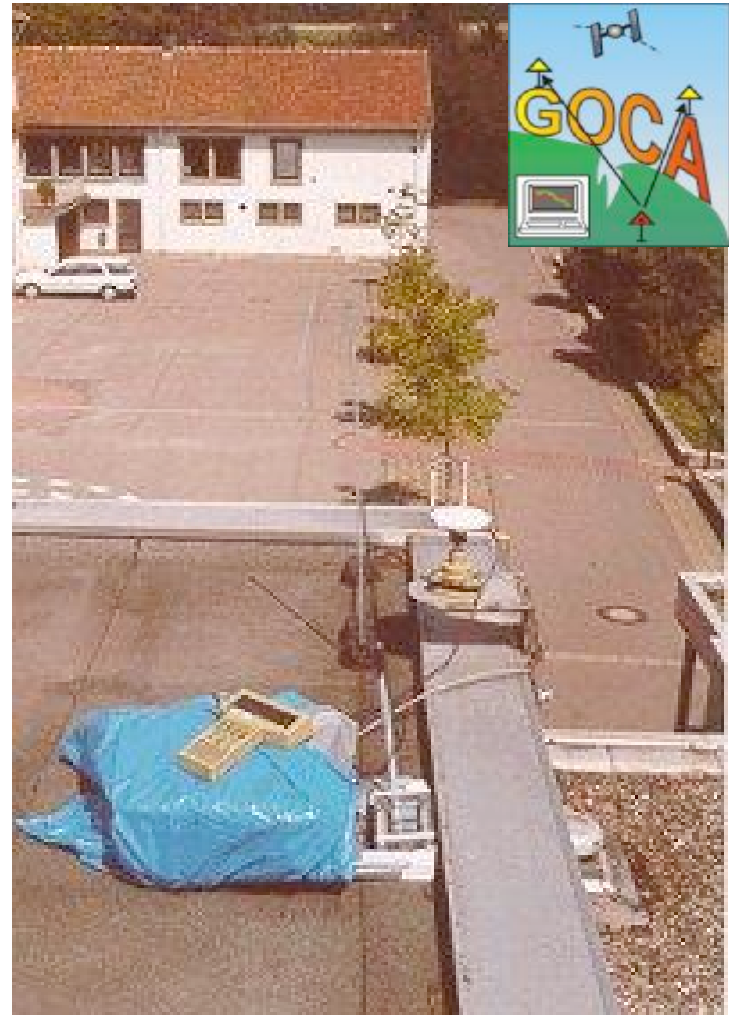
GOCA

GOCA-Installation zur Gebäude-Überwachung



**Lohwies-Halle
(Schulgebäude)**

**Leica GPS
Sensor auf
dem Dach
der
Lohwies-
Halle**



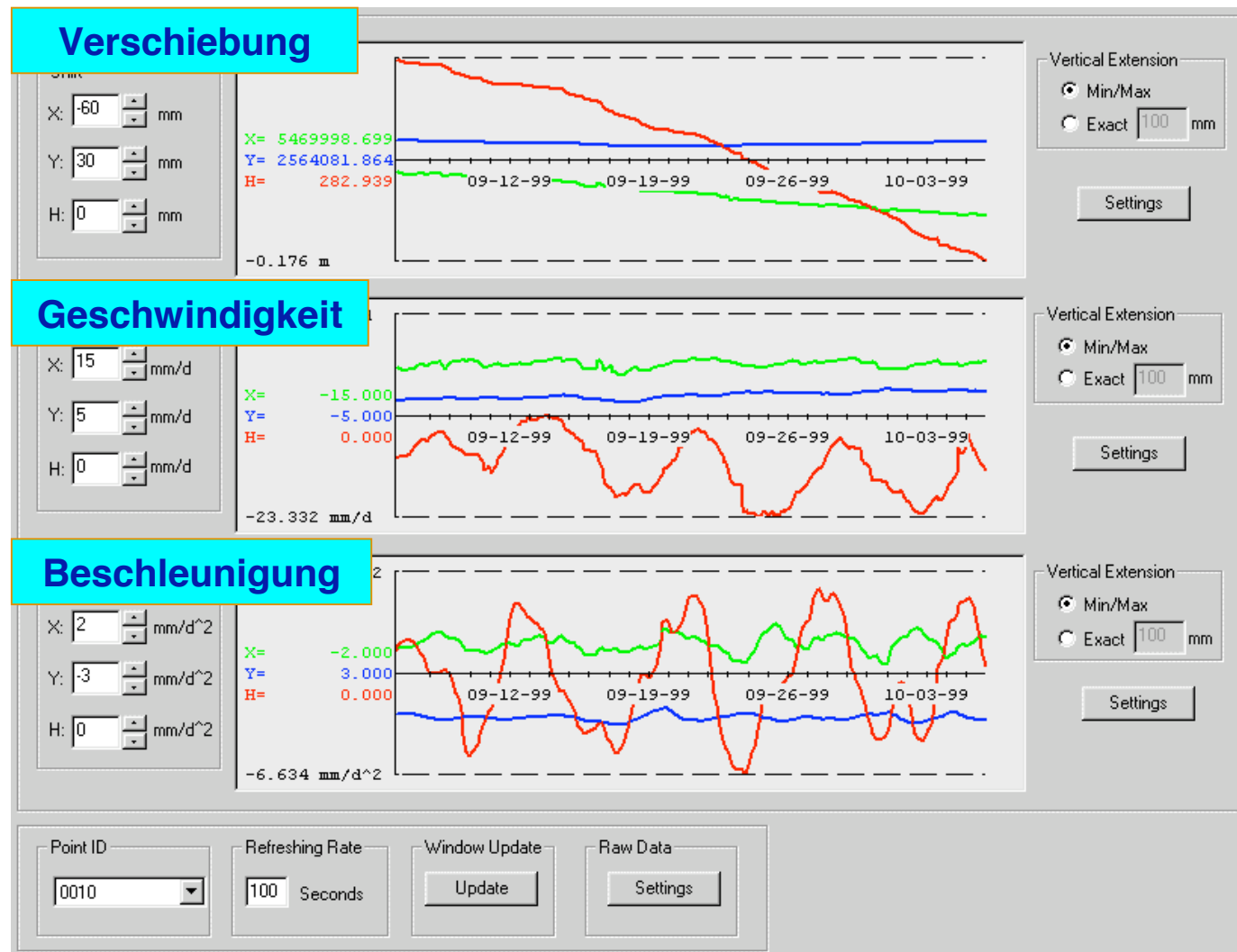
Reiner Jäger

www.goca.info

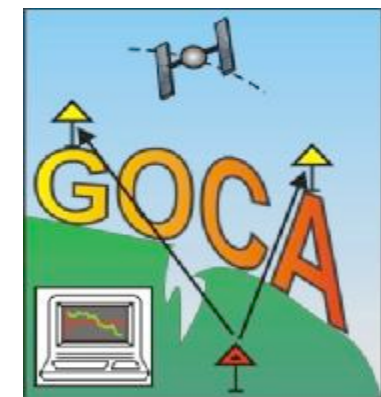
GOCA-Präsentation 230-Jahre-Feier MIIGAIK, 25.-27. Mai 2009



GOCA-Installation zur Gebäude-Überwachung



GOCA
Kalmanfilter



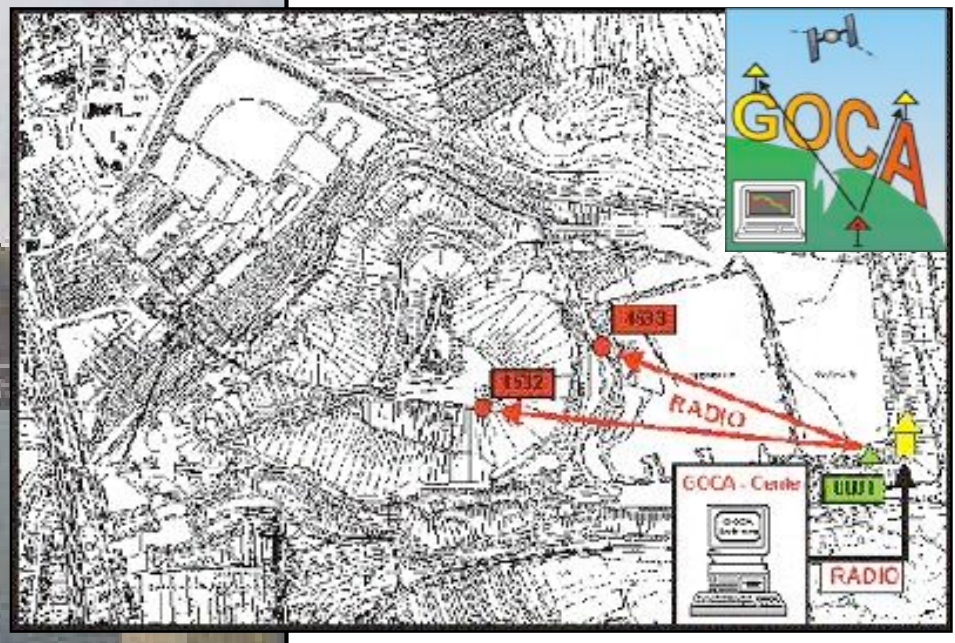
Reiner Jäger

www.goca.info

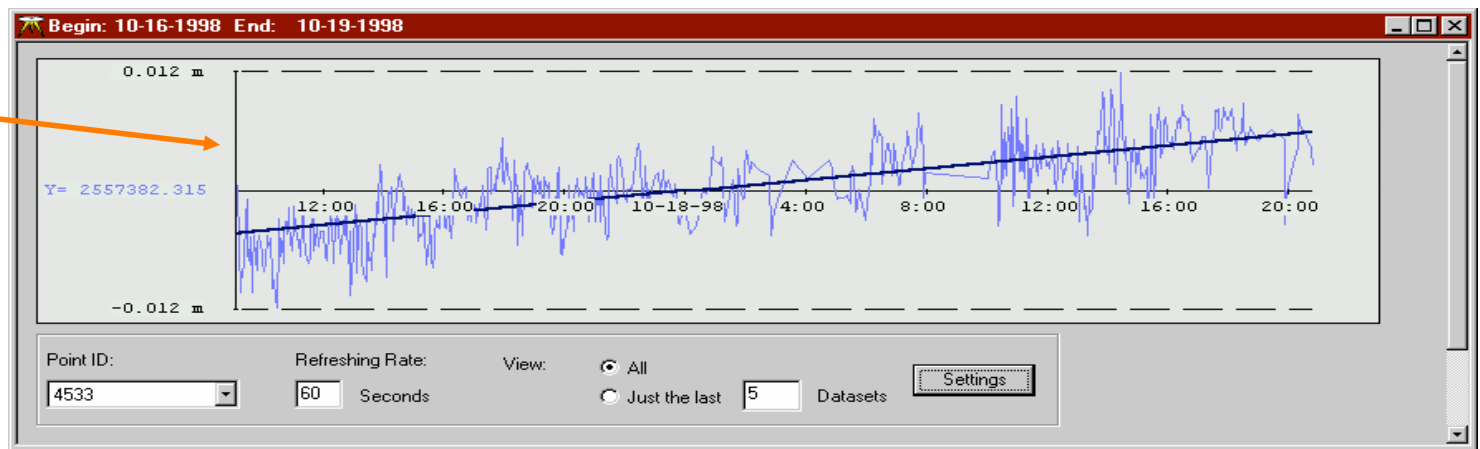
GOCA-Präsentation 230-Jahre-Feier MIIGAIK, 25.-27. Mai 2009



GOCA- Installationsbeispiel - Kohlehalde



Zeitreihen
Objektpunkt
Koordinaten
 $y := x_o(t)$ bzw.
 $y := u_o(t)$



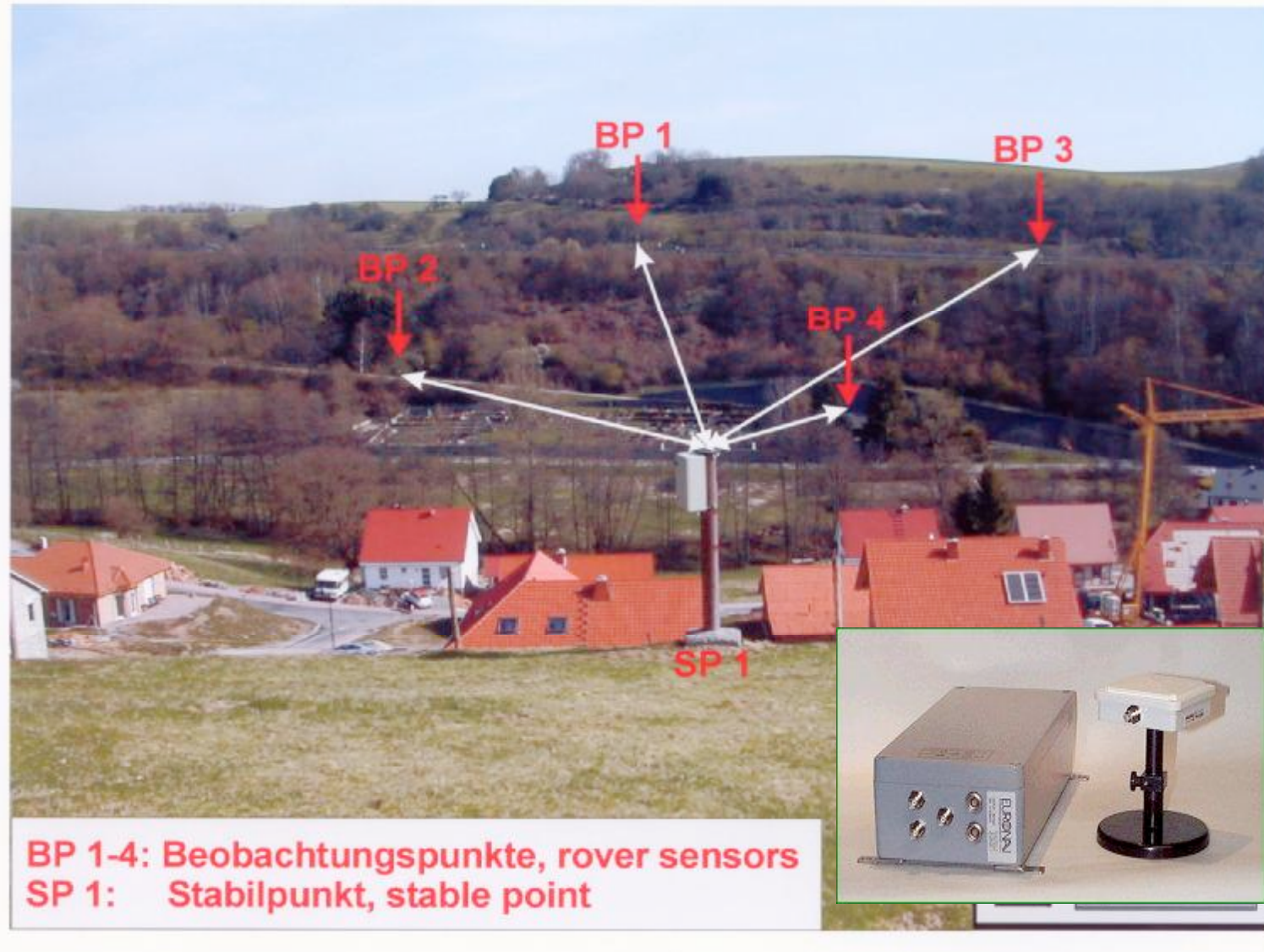
Reiner Jäger

www.goca.info

GOCA-Präsentation 230-Jahre-Feier MIIGAIK, 25.-27. Mai 2009



GOCA Installationsbeispiel: Autobahn-Rutschung A62



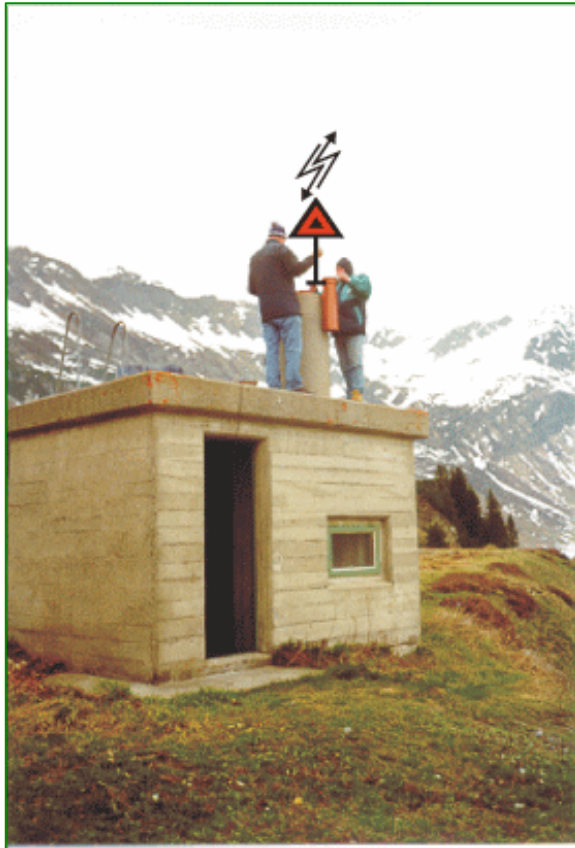
Reiner Jäger

www.goca.info

GOCA-Präsentation 230-Jahre-Feier MIIGAIK, 25.-27. Mai 2009

GOCA

GOCA-Überwachung Kops-Staumauer, Österreich



Installation eines
GPS-Rovers als
stabiler Referenzpunkt



Rot: GPS-Rover als Objektpunkt-1

im Bereich der Mauermitte

Gelb: GPS-Referenzstation als Objektpunkt-2

im künstlichen Widerlager



Reiner Jäger

www.goca.info

GOCA-Präsentation 230-Jahre-Feier MIIGAIK, 25.-27. Mai 2009



GOCA-Überwachung Kops-Staumauer, Illwerke, Österreich

Kops Damm mit GPS-Beobachtungsdesign

2 Objekt Punkte:

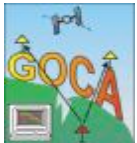
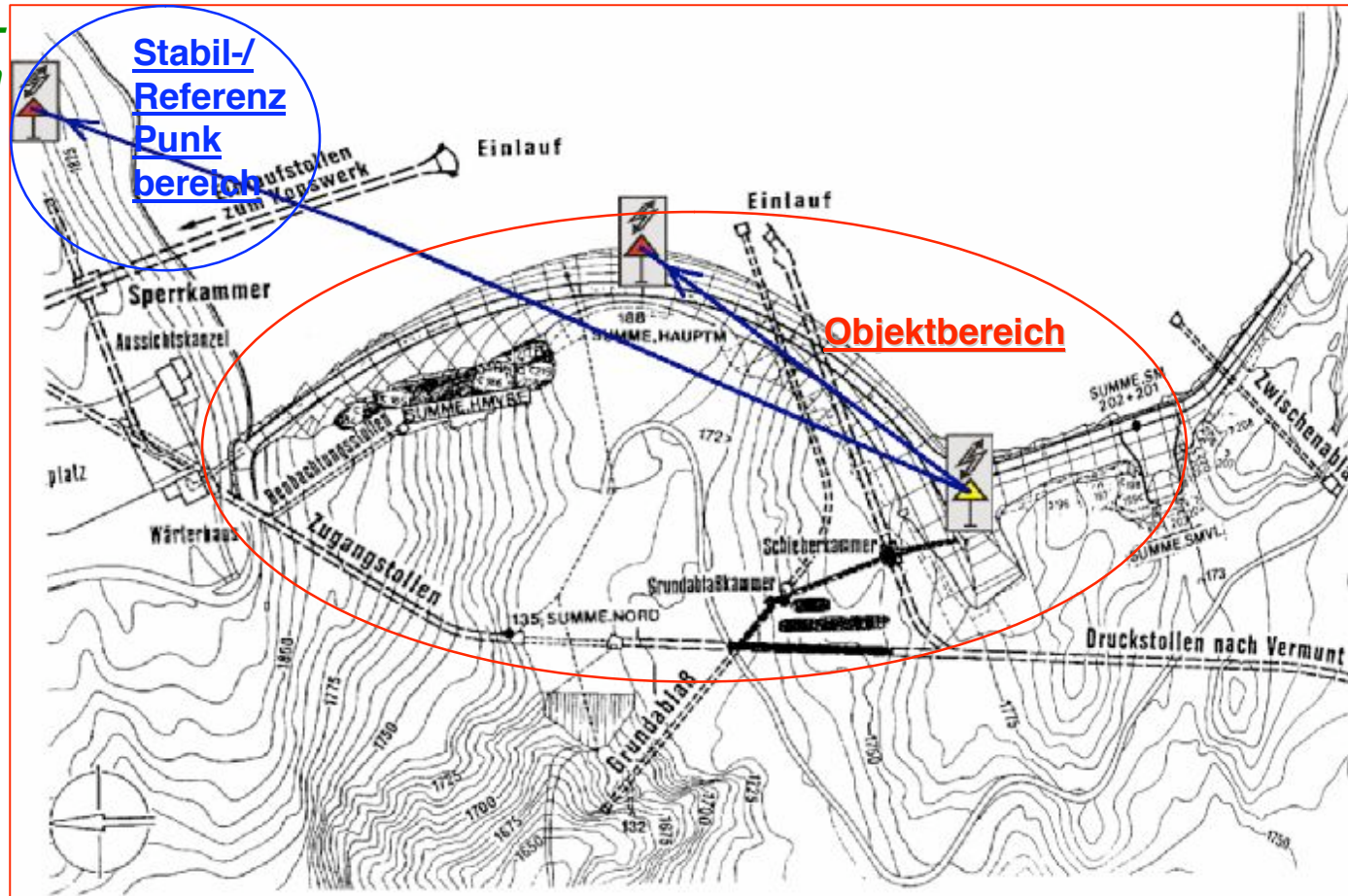
Dammmitte

(GPS-Rover)

und

Künstliches
Widerlager (GPS-Referenzstation).

Stabiler
Referenzpunkt:
(Rover) links auf
einem Bunker.



Reiner Jäger

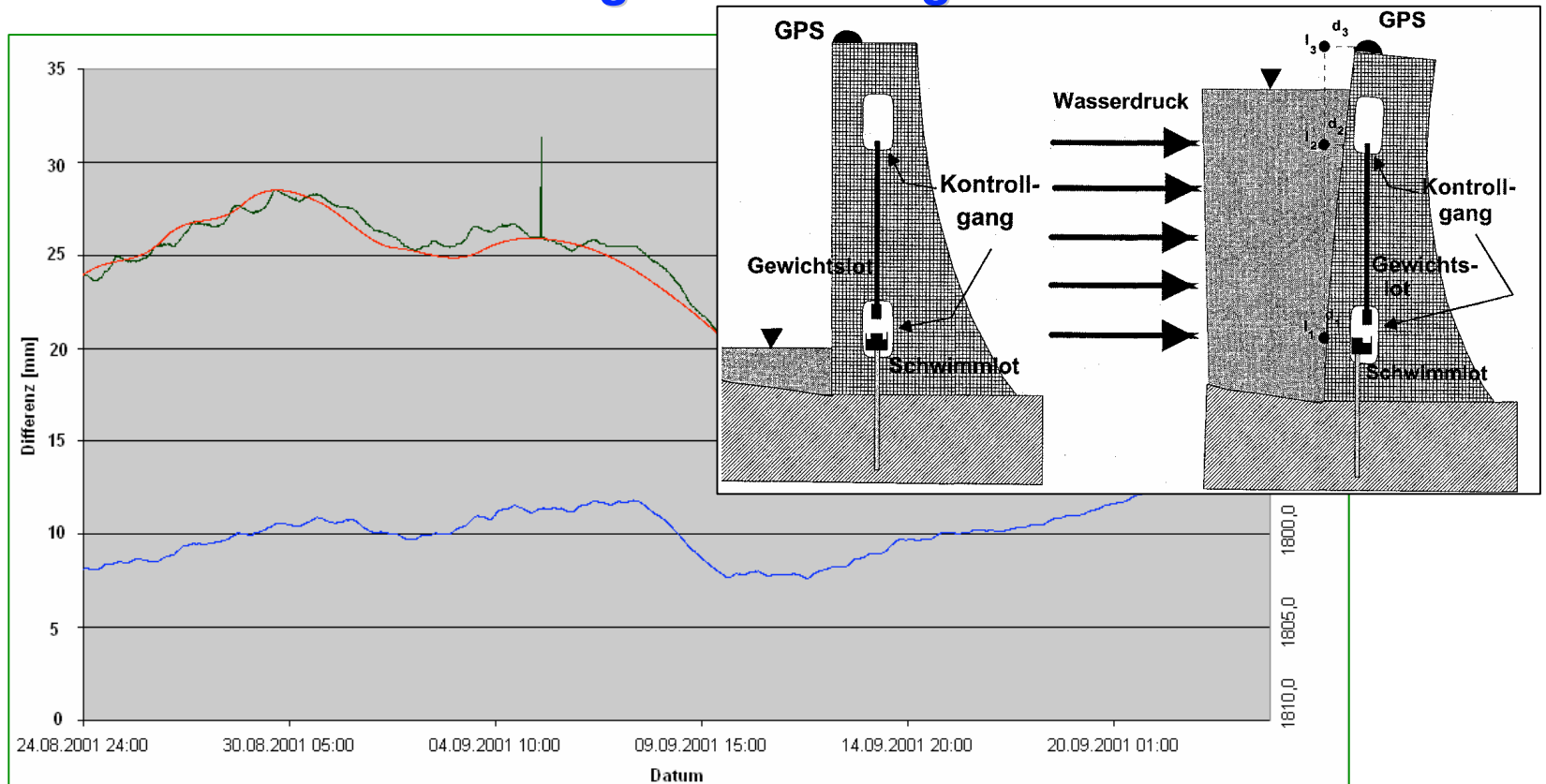
www.goca.info

GOCA-Präsentation 230-Jahre-Feier MIIGAIK, 25.-27. Mai 2009

GOCA

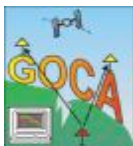
GOCA-Überwachung Kops-Staumauer, Illwerke, Österreich

- Auswertung der Messungen -



Gegenüberstellung der klassischen Lotungsmessungen und der
GOCA-Auswertung (DGPS-Monitoring). Mauermitte

Übereinstimmung im < 1mm Bereich



Reiner Jäger

www.goca.info

GOCA-Präsentation 230-Jahre-Feier MIIGAIK, 25.-27. Mai 2009



GOCA-Präsentationen

LONG TERM BEHAVIOUR OF DAMS

Impressum

LTBD09

2nd International Conference

12th - 13th October 2009, Graz, Austria (Europe)



News



[Home](#)

Aims & Scope

Post Conference Tours

Important Dates

Venue

Accommodation

Registration

Submissions

Sponsors

Exhibition

Welcome to LTBD09

2nd International Conference

LONG TERM BEHAVIOUR OF DAMS

12th – 13th October 2009, Graz, Austria (Europe)

under the auspices of



Reiner Jäger

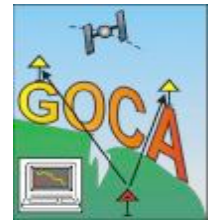
www.goca.info

GOCA-Präsentation 230-Jahre-Feier MIIGAIK, 25.-27. Mai 2009

GOCA

Installations-Beispiele - Tagebau

- RWE Rheinbraun (Hambach, Garzweiler, Elsdorf)
- Morila Gold Mines, Mali, Afrika



Böschungs-Monitoring im
Braunkohle-Tagebau Garzweiler (8 Empfänger)



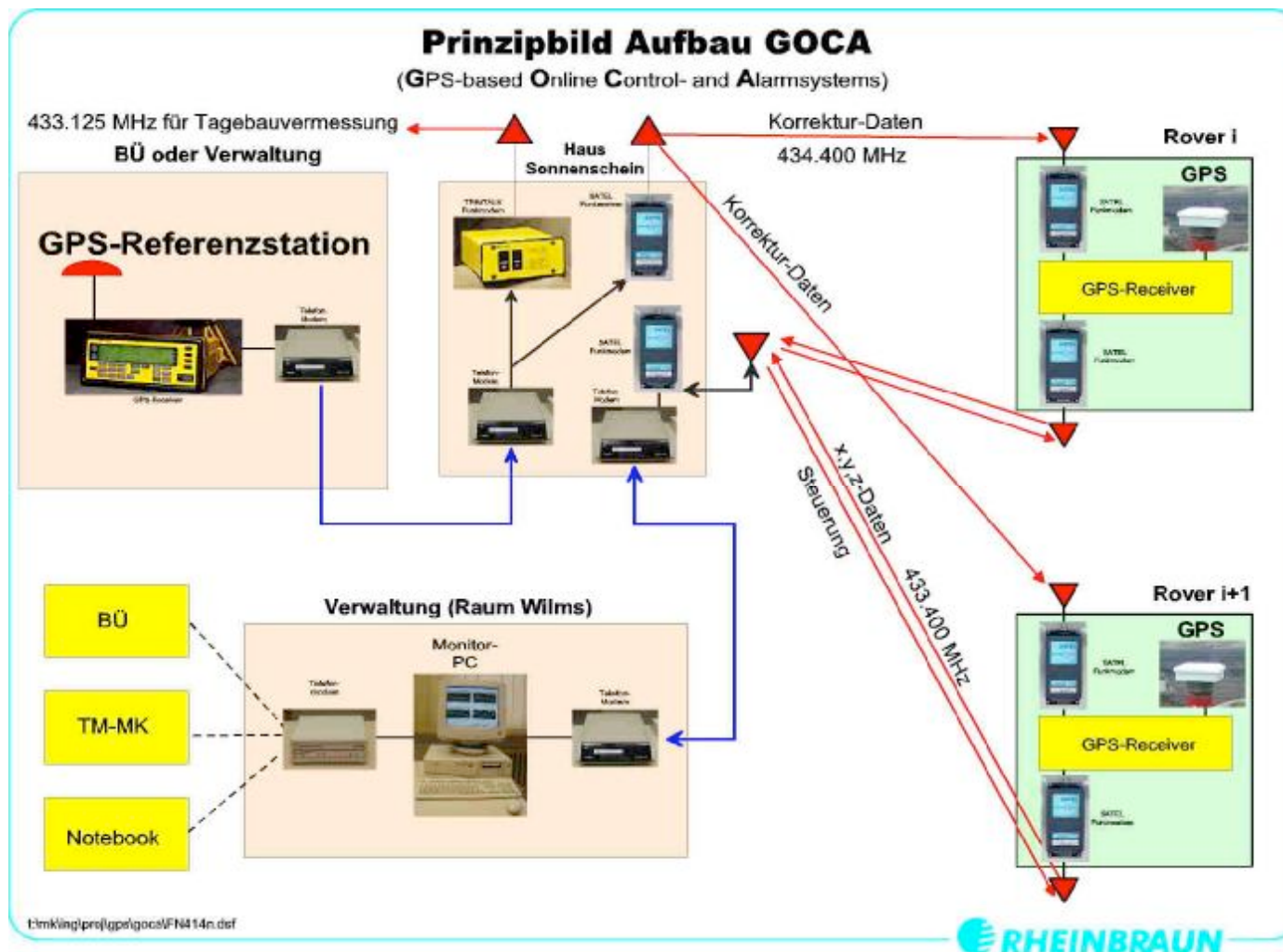
Reiner Jäger

www.goca.info

GOCA-Präsentation 230-Jahre-Feier MIIGAIK, 25.-27. Mai 2009



Installationsbeispiel 1 - Rheinbraun/Garzweiler



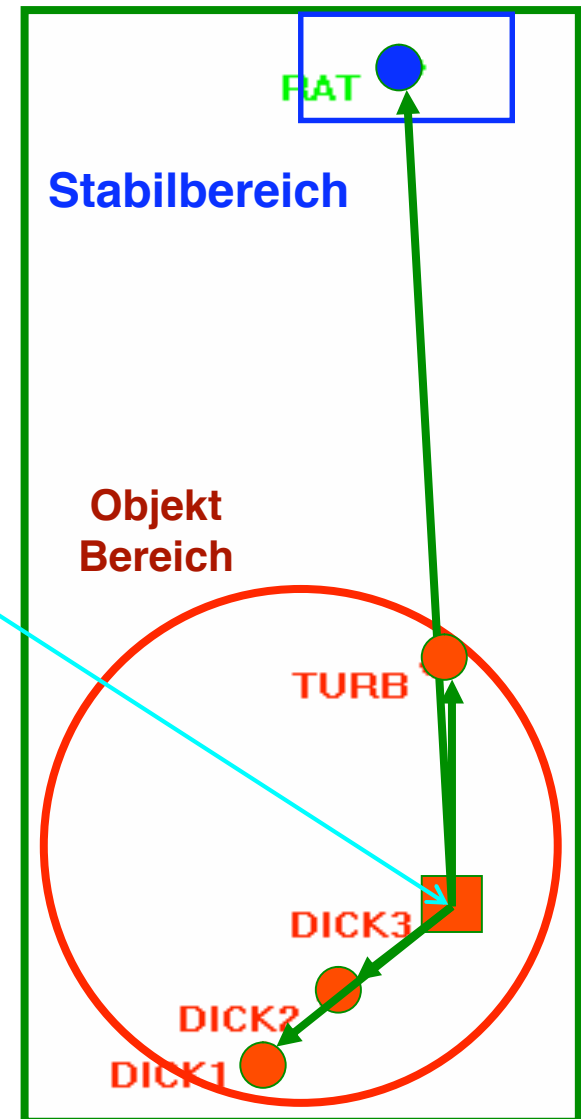
Reiner Jäger

www.goca.info

GOCA-Präsentation 230-Jahre-Feier MIIGAIK, 25.-27. Mai 2009

GOCA

GOCA-Installationsbeispiel: Fabrik Elsdorf (RWE)



Reiner Jäger

www.goca.info

GOCA-Präsentation 230-Jahre-Feier MIIGAIK, 25.-27. Mai 2009

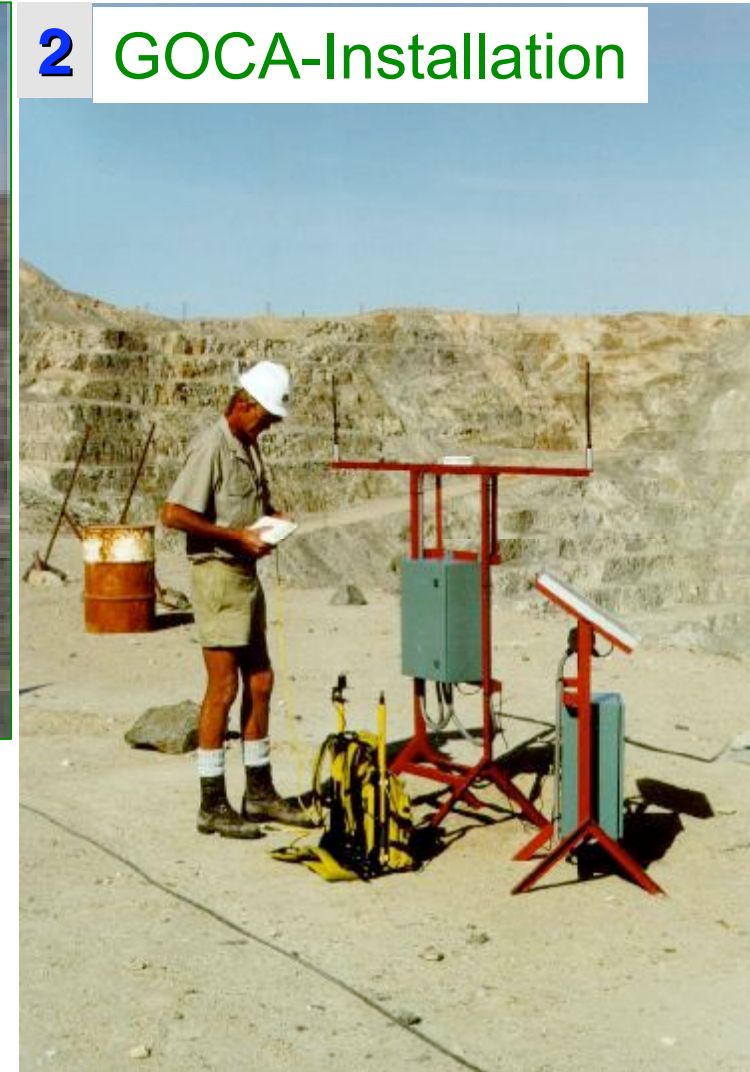
GOCA

Installation : Rössing Mines, Namibia, Afrika

1 Rössing Abaugebiet



2 GOCA-Installation



3



15 GOCA
Receiver



Reiner Jäger

www.goca.info

GOCA-Präsentation 230-Jahre-Feier MIIGAIK, 25.-27. Mai 2009

GOCA

GOCA-Installationsbeispiel - Palabora Kupfer Mine, Südafrika (2004)



Reiner Jäger

www.goca.info

GOCA-Präsentation 230-Jahre-Feier MIIGAIK, 25.-27. Mai 2009

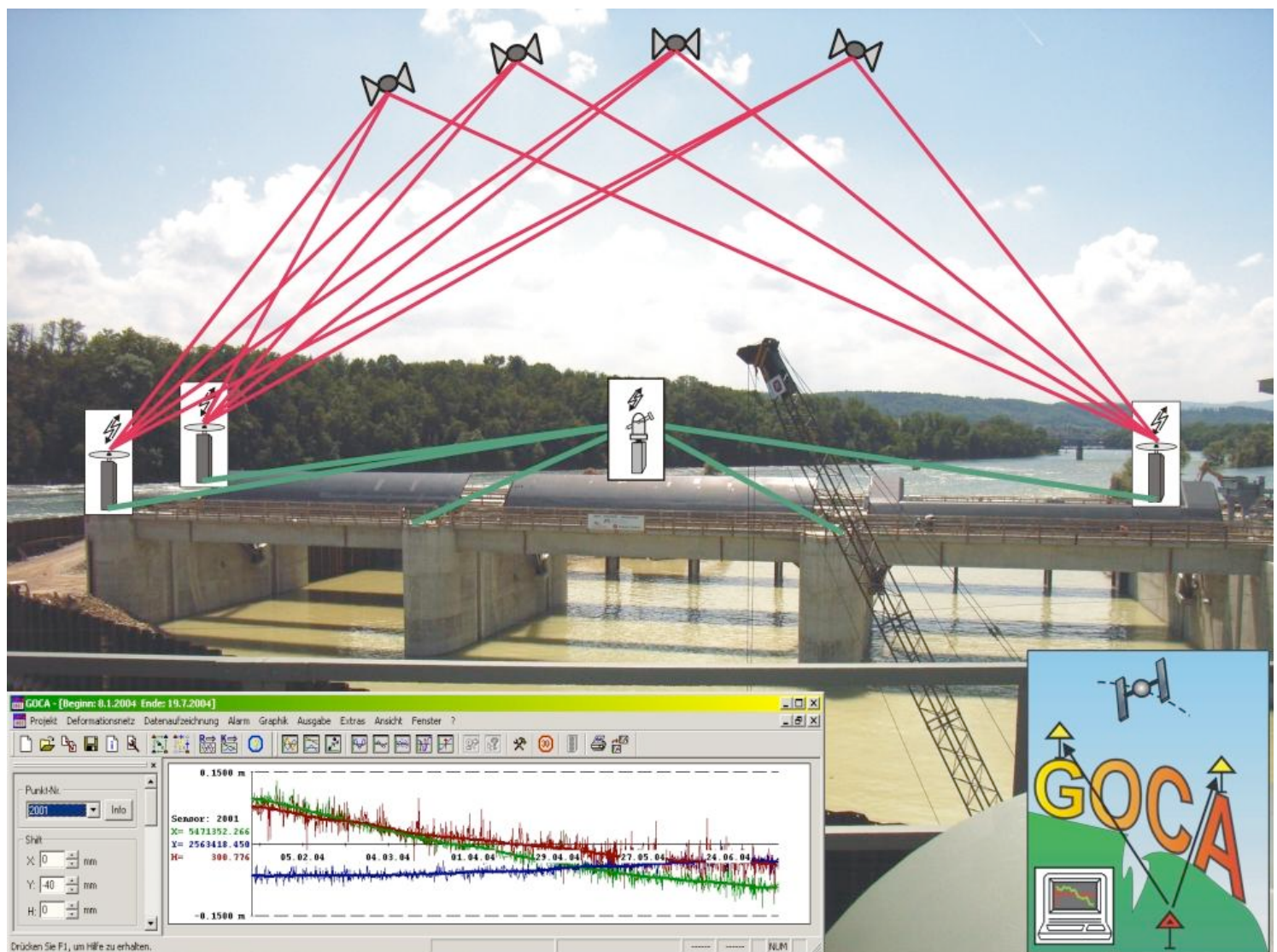
GOCA

GNSS & LPS

Hybrides
GNSS + LPS

Deformations-
analyse

Wasser
Kraftwerk



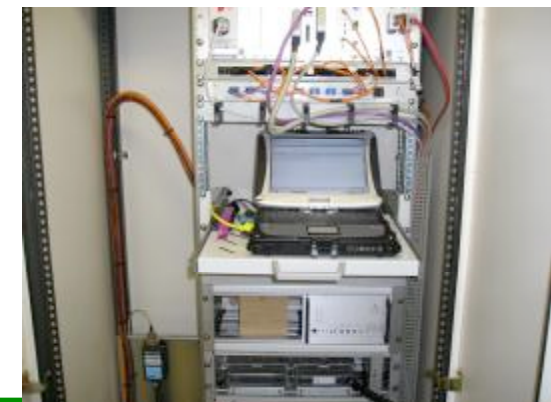
Reiner Jäger

www.goca.info

GOCA-Präsentation 230-Jahre-Feier MIIGAIK, 25.-27. Mai 2009

GOCA

Installations - Beispiel: Vattenfall, Europe



**Braunkohletagebau
Trimble Receiver (rechts oben)
GOCA-Centre mit GOCA-Software =>**



Reiner Jäger

www.goca.info

GOCA-Präsentation 230-Jahre-Feier MIIGAIK, 25.-27. Mai 2009

GOCA

GOCA- Installationsbeispiel apls-EWAS (Early Warning System)

Universität der
Bundeswehr
&
TU München

GOCA-Software
in mehreren
Frühwarnsystemen
Alpen für aktive
Hangrutschungen

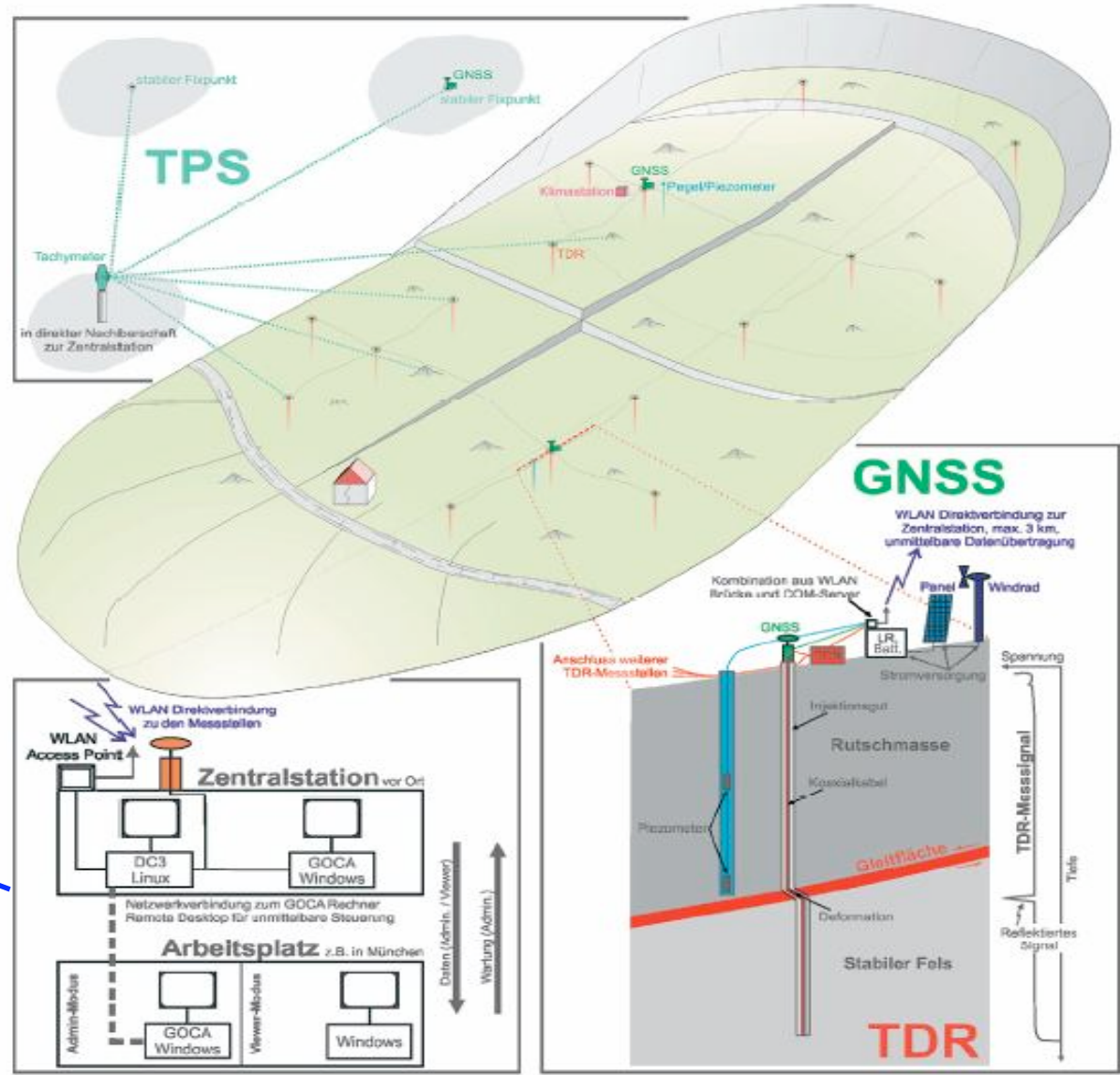


Abb. 4: Integratives Frühwarnsystem (Zeichnung: Singer und Pink)



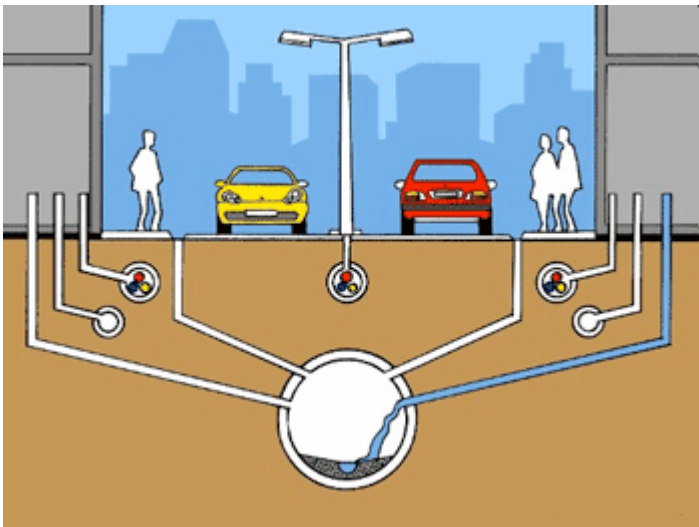
Reiner Jäger

www.goca.info

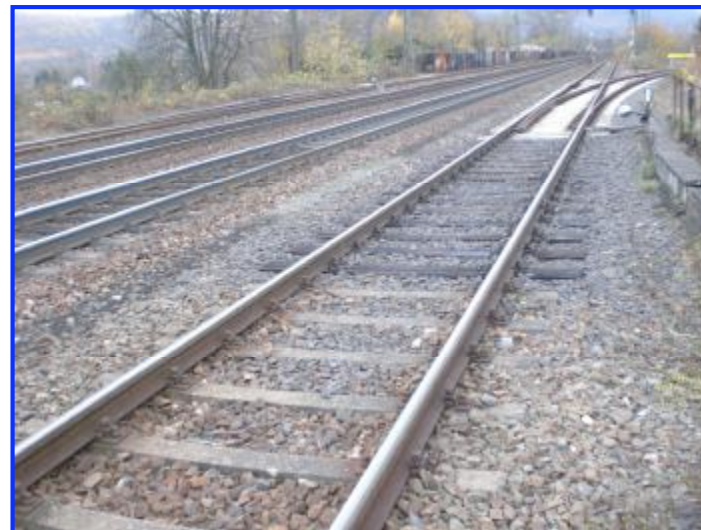
GOCA-Präsentation 230-Jahre-Feier MIIGAIK, 25.-27. Mai 2009

GOCA

Tunnelprojekte, Brückenprojekte und Gleisanlagen (DB)



Untertunnelungen (GNSS/GPS,LPS)



GeoMonitoring als Dienstleistung

(Systeminstallation, geodätische Betreuung + **Monitoring-System**)

GOCA-Software

(Netzausgleichung, Monitoring, Deformationanalysen und - Vorhersagen, Visualisierung und Alarmierung) - Offene Schnittstellen



GOCA-Kommunikationssoftware

GeoMos&Spider2GOCA (TopCon2GOCA, MOWI, eigene)



Hardwareansteuerungssoftware und Kommunikationshardware

e.g. GeoMos / Comserver Box (eigene)



Hardware (Totalstationen, GNSS/GPS, Nivelliere)



Standards des Geodätischen Monitoring (Deformationsanalyse)

FIG Commission 6 and Working Groups (seit 1979)

Dissertation
R. Zimmer-
mann.
DGK,
Reihe C
2004

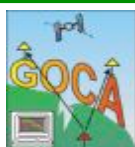
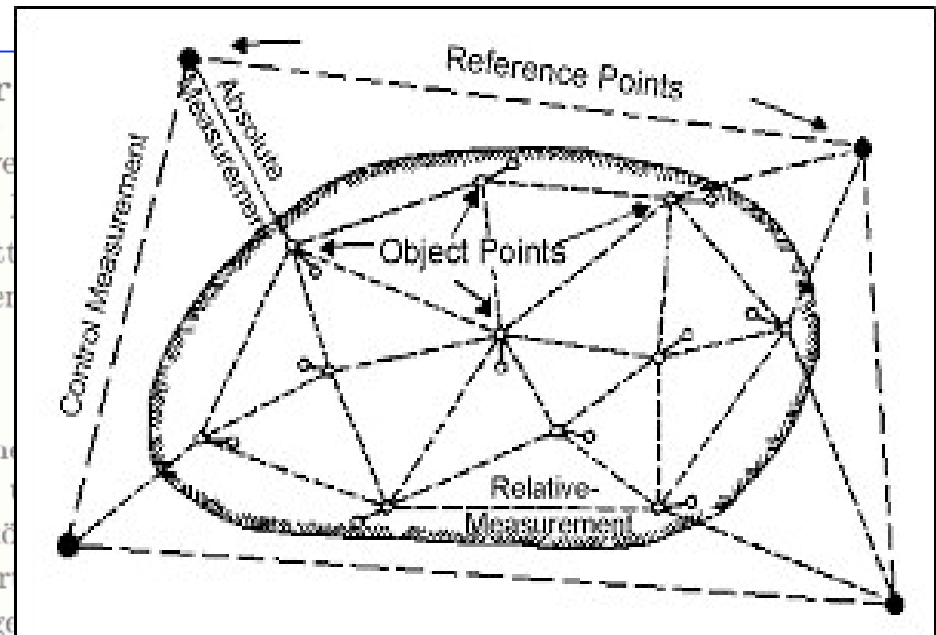
2.2 Überblick über Software

Dieser Abschnitt gibt einen Überblick über verschiedene Programme aus der Geodäsie eingesetzt werden. In Zusammenhang mit dem im vorigen Abschnitt besprochenen System wird die Liste der in diesem Abschnitt vorgestellten Programme erläutert.

2.2.1 GeoMos

GeoMos [33] dient zur automatisierten Datenerfassung und -auswertung. Die Sensoren können über serielle Schnittstellen angeschlossen werden können. Diese Sensoren umfassen sowohl geodätische als auch geotechnische Sensoren. Die erfassten Werte können zu verschiedenen Zeitpunkten auswerten zu können. Der Export der Daten ist ebenso ein wichtiger Bestandteil des Systems wie ein Meldungsmanager, mit dem die Meldungen in Kenntnis gesetzt werden können. Neben der Datenerfassung bietet das System auch noch Funktionen zur Datenanalyse. Diese Funktionen realisieren z.B. die Darstellung der Daten in Weg-Zeit-Diagrammen, mit denen die Bewegungstendenzen auf der Basis von Koordinatenvergleichen aufgezeigt werden können.

Bezugnehmend auf den in Abschnitt 2.1 beschriebenen Datenfluss realisiert die Software also die Stufen der Datenerfassung und der Visualisierung. Eine Ausgleichung der Beobachtungen oder eine Deformationsanalyse unter Einbeziehung der Genauigkeitsinformationen ist in das System nicht integriert. Da die Daten nach ihrer Erfassung in einer Datenbank abgelegt werden und somit eine standardisierten Schnittstelle zum Zugriff bereitsteht, können sowohl die Ausgleichung wie auch die Deformationsanalyse durch andere Software durchgeführt werden.



Geodätische beobachtungsbezogene Deformationsanalyse - Standards

$\mathbf{y} = (\mathbf{x}_R; \mathbf{x}_{O,1}; \mathbf{x}_{O,2})$ – Koordinaten $\mathbf{x}(t)$

$$(\mathbf{l}_1 - \mathbf{l}_1(\mathbf{y}^0)) + \mathbf{v}_1 = \mathbf{A}_{R,1} \cdot d\mathbf{x}_R + \mathbf{A}_{O,1} \cdot d\mathbf{x}_{O,1} + \mathbf{0} \cdot d\mathbf{x}_{O,2}$$

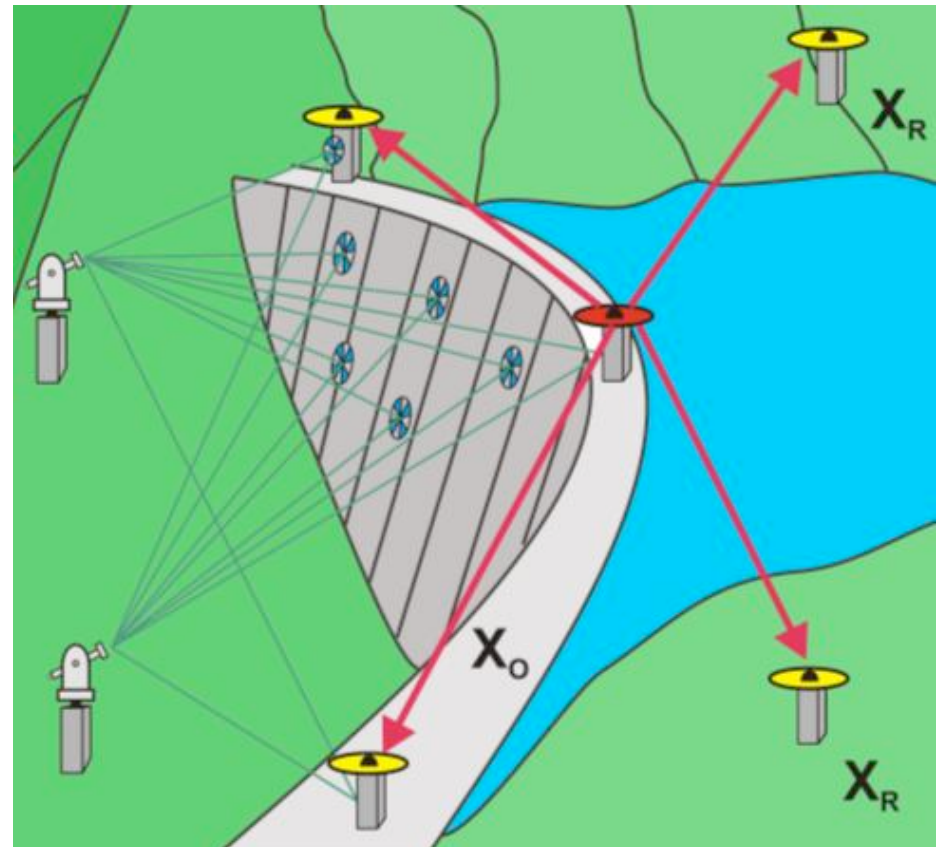
$$(\mathbf{l}_2 - \mathbf{l}_2(\mathbf{y}^0)) + \mathbf{v}_2 = \mathbf{A}_{R,2} \cdot d\mathbf{x}_R + \mathbf{0} \cdot d\mathbf{x}_{O,1} + \mathbf{A}_{O,2} \cdot d\mathbf{x}_{O,2}$$

Kleinste-Quadrat-Ausgleichung

$$d\hat{\mathbf{y}} = (\mathbf{A}^T \mathbf{C}_1^{-1} \mathbf{A})^{-1} \mathbf{A}^T \mathbf{C}_1^{-1} \cdot (\mathbf{l} - \mathbf{l}(\mathbf{y}^0))$$

$$\hat{\mathbf{y}}(t_1, t_2) = \mathbf{y}^0 + d\hat{\mathbf{y}} = \begin{bmatrix} \mathbf{x}_R^0 + d\mathbf{x}_R \\ \mathbf{x}_{O,1}^0 + d\mathbf{x}_{O,1} \\ \mathbf{x}_{O,2}^0 + d\mathbf{x}_{O,2} \end{bmatrix}$$

$$\mathbf{C}_y = \left[\begin{array}{c|cc} \mathbf{A}_R^T \mathbf{C}_1^{-1} \mathbf{A}_R & \mathbf{A}_R^T \mathbf{C}_1^{-1} \mathbf{A}_{O,1} & \mathbf{A}_R^T \mathbf{C}_1^{-1} \mathbf{A}_{O,2} \\ \hline \mathbf{A}_{O,1}^T \mathbf{C}_1^{-1} \mathbf{A}_R & \mathbf{A}_{O,1}^T \mathbf{C}_1^{-1} \mathbf{A}_{O,1} & \mathbf{0} \\ \mathbf{A}_{O,2}^T \mathbf{C}_1^{-1} \mathbf{A}_R & \mathbf{0} & \mathbf{A}_{O,2}^T \mathbf{C}_1^{-1} \mathbf{A}_{O,2} \end{array} \right]$$



Diskrete Zustandsparameter y

$\mathbf{x}_o(t)$ - Objektpunktkoordinaten

$\mathbf{u}_o(t, \mathbf{x}_i)$ - Objektpunktverschiebungen



Reiner Jäger

www.goca.info

GOCA-Präsentation 230-Jahre-Feier MIIGAIK, 25.-27. Mai 2009



Geodätische Deformationsanalyse – Netzgl.-basiert

Mathematisches Modell („Beobachtungsbezogene Deformationsanalyse“):

Beziehung zwischen Beobachtungsdaten (\mathbf{l}) und Zustandsparametern \mathbf{y} .

Stochastische Modelle \mathbf{C}_l der Beobachtungsfehler ε zu zwei allgemeinen Zeitpunkten t_1 und t_2

$$\mathbf{l}(t_1) - \varepsilon(t_1) = \tilde{\mathbf{l}}(\mathbf{y}(t_1)) \quad ; \quad \mathbf{C}_1(t_1)$$

$$\mathbf{l}(t_2) - \varepsilon(t_2) = \tilde{\mathbf{l}}(\mathbf{y}(t_2)) \quad ; \quad \mathbf{C}_1(t_2)$$

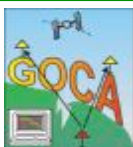
Parameterschätzung (nach Linearisierung mit Näherungsparametern \mathbf{y}^0)

Ansatz: $\sum_{i=1}^n \rho(\bar{v}_i) = \sum_{i=1}^n \rho((\mathbf{C}_1^{-\frac{1}{2}} \cdot \mathbf{A})_i \cdot d\hat{y} - (\mathbf{C}_1^{-\frac{1}{2}} \cdot (\mathbf{l} - \mathbf{l}(\mathbf{y}^0)))_i) = \text{Min } |d\hat{y}|$

Wahl des Schätzprinzips: $\rho(\bar{v}_i) = \frac{1}{2} \bar{v}_i^2$ ($\rho(\bar{v}_i) = \frac{1}{2} |\bar{v}_i|$... $\rho(\bar{v}_i) = \begin{cases} \frac{1}{2} \bar{v}_i^2 & \forall |\bar{v}_i| \leq k \\ |\bar{v}_i| & \forall |\bar{v}_i| > k \end{cases}$)

Ergebnis = Zustandsparameter $\mathbf{y}(t)$

$$\hat{\mathbf{y}} = \mathbf{y}^0 + d\hat{y}$$



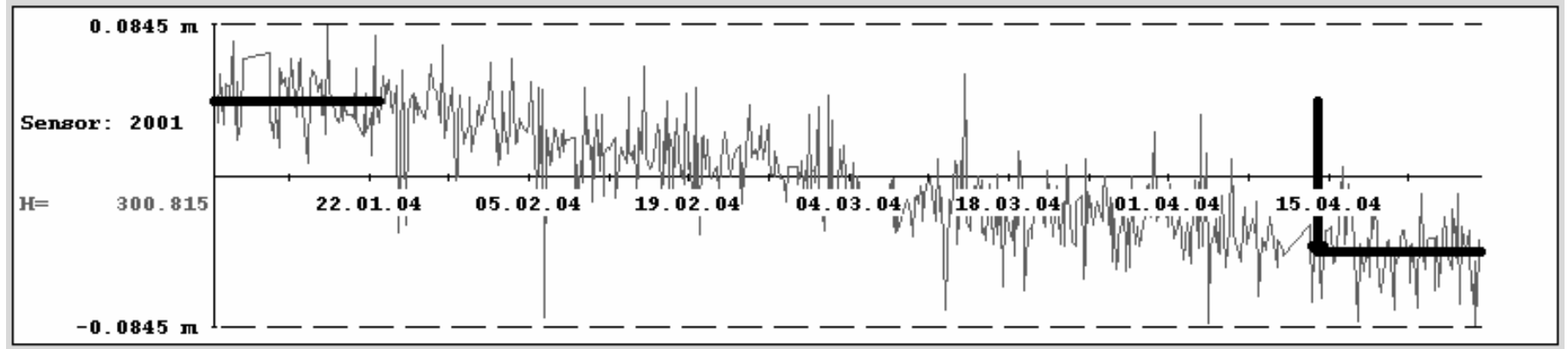
Reiner Jäger

www.goca.info

GOCA-Präsentation 230-Jahre-Feier MIIGAIK, 25.-27. Mai 2009



GOCA Stufe 3 – Online Verschiebungs-Schätzung



$$\begin{bmatrix} l_{t_0} \\ l_t \end{bmatrix} + \begin{bmatrix} v_{t_0} \\ v_t \end{bmatrix} = \begin{bmatrix} E_1 & \mathbf{0} \\ E_2 & E_2 \end{bmatrix} \cdot \begin{bmatrix} x_0 \\ u(t) \end{bmatrix}$$

$$y(t) = (x_o, u(t))^T$$



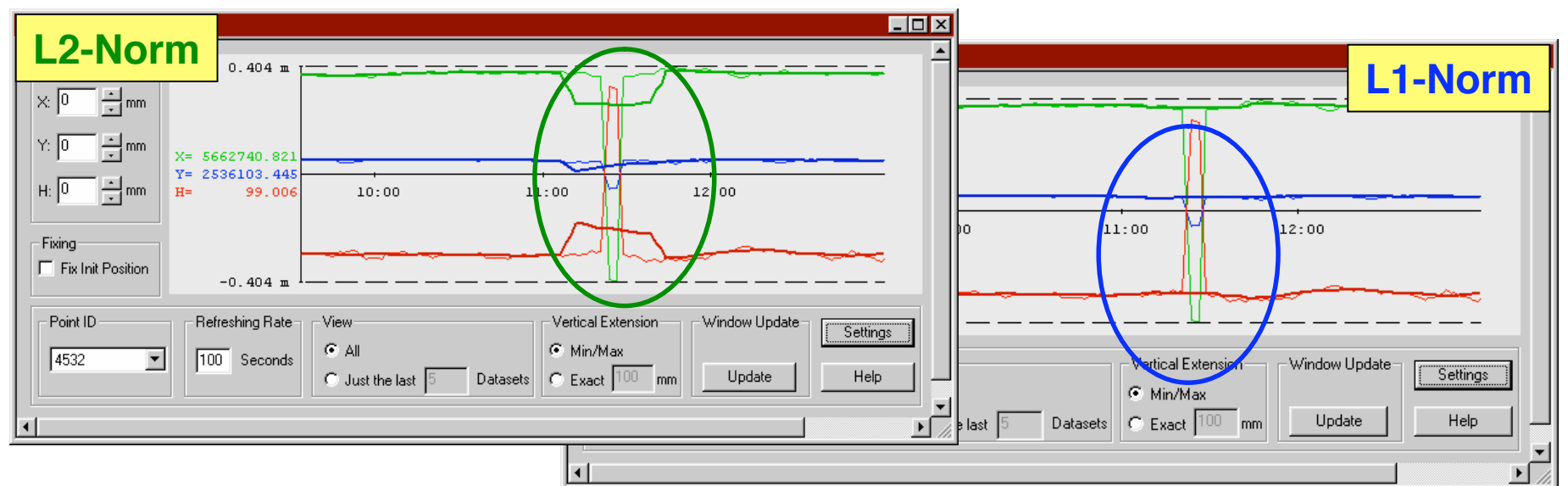
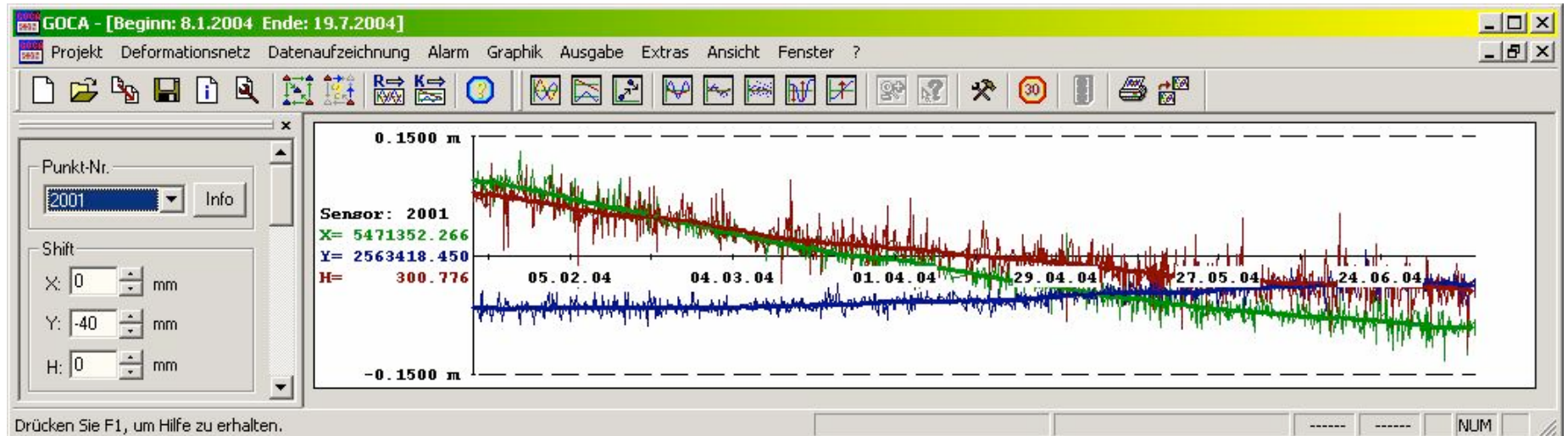
Reiner Jäger

www.goca.info

GOCA-Präsentation 230-Jahre-Feier MIIGAIK, 25.-27. Mai 2009

GOCA

GOCA Stufe 2 („FIN-Files“) und Moving-Average („MVE-Files“)



Reiner Jäger

www.goca.info

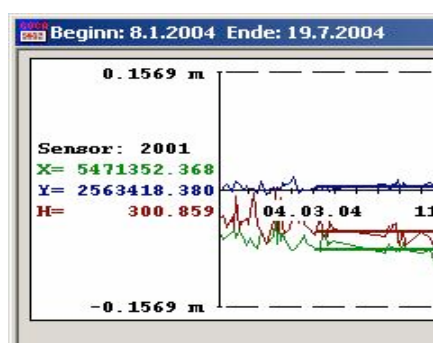
GOCA-Präsentation 230-Jahre-Feier MIIGAIK, 25.-27. Mai 2009

GOCA

GOCA – Stufe 3

Online

Verschiebung-Schätzung



Displacement-Estimation

General Settings

Name: E1

Object Points

- GOCAA18
- GOCAB12
- GOCAB13

Epoch Definition

Epoch 1 = Initialisation
 Epoch 1 = fix
 Epoch 1 = dynamic

Begin of dynamic or fix Epoch 1:
Date: 02.08.2004 Time: 00:00

Begin dynamic Epoch 2:
Date: 02.08.2004 Time: 00:00

Duration of Epoch 1: 1 Hours
Epoch-Cycle: 24 Hours
Duration of Epoch 2: 1 Hours

Adjustment Settings

Estimation Type:
 L1 L2 Huber
Convergence Crit. (L1, Huber): 1000

Statistical Settings

Error Probability Plan Pos.: 5 %
Error Probability Height: 5 %
Sensitivity β : 95 %

Settings for Alert

Alert in case of Significance (A)
 Alert on exceeding crit. values (B)

Plan: 3 mm Priority: 2
Height: 5 mm Priority: 5

Alert only if A and B simultaneously match

Buttons

OK Cancel



Reiner Jäger

www.goca.info

GOCA-Präsentation 230-Jahre-Feier MIIGAIK, 25.-27. Mai 2009

GOCA

GOCA-Stufe 3 Online-Verschiebungsschätzung

• Numerische Ergebnisse der Verschiebungsschätzung („SHT-Files“)

Ergebnis der Verschiebungsschätzung:

Zeit = 26.06.2003 00:59:00

Rechts = -0.0007
TRechts = 1.3
Kritischer Wert = 3.3
Genauigkeit = 0.00055
Konfidenzbereich = 0.00183
Sensitivitätsbereich= 0.00255

Zeit = 26.06.2003 00:59:00

Hoch = -0.0011
THoch = 1.3
Kritischer Wert = 3.3
Genauigkeit = 0.00080
Konfidenzbereich = 0.00265
Sensitivitätsbereich= 0.00368

Zeit = 26.06.2003 00:59:00

Hoehe = -0.0048
THoehe = 3.7
Kritischer Wert = 3.3
Genauigkeit = 0.00130
Konfidenzbereich = 0.00433
Sensitivitätsbereich= 0.00601

*** signifikant



Reiner Jäger

www.goca.info

GOCA-Präsentation 230-Jahre-Feier MIIGAIK, 25.-27. Mai 2009



Deformationssystem – Identifikation

Parametrische Identifikation – Systemklasse: Mechanik

Zeitreihen der Verschiebungen u (GOCA) ? Schaden p ?



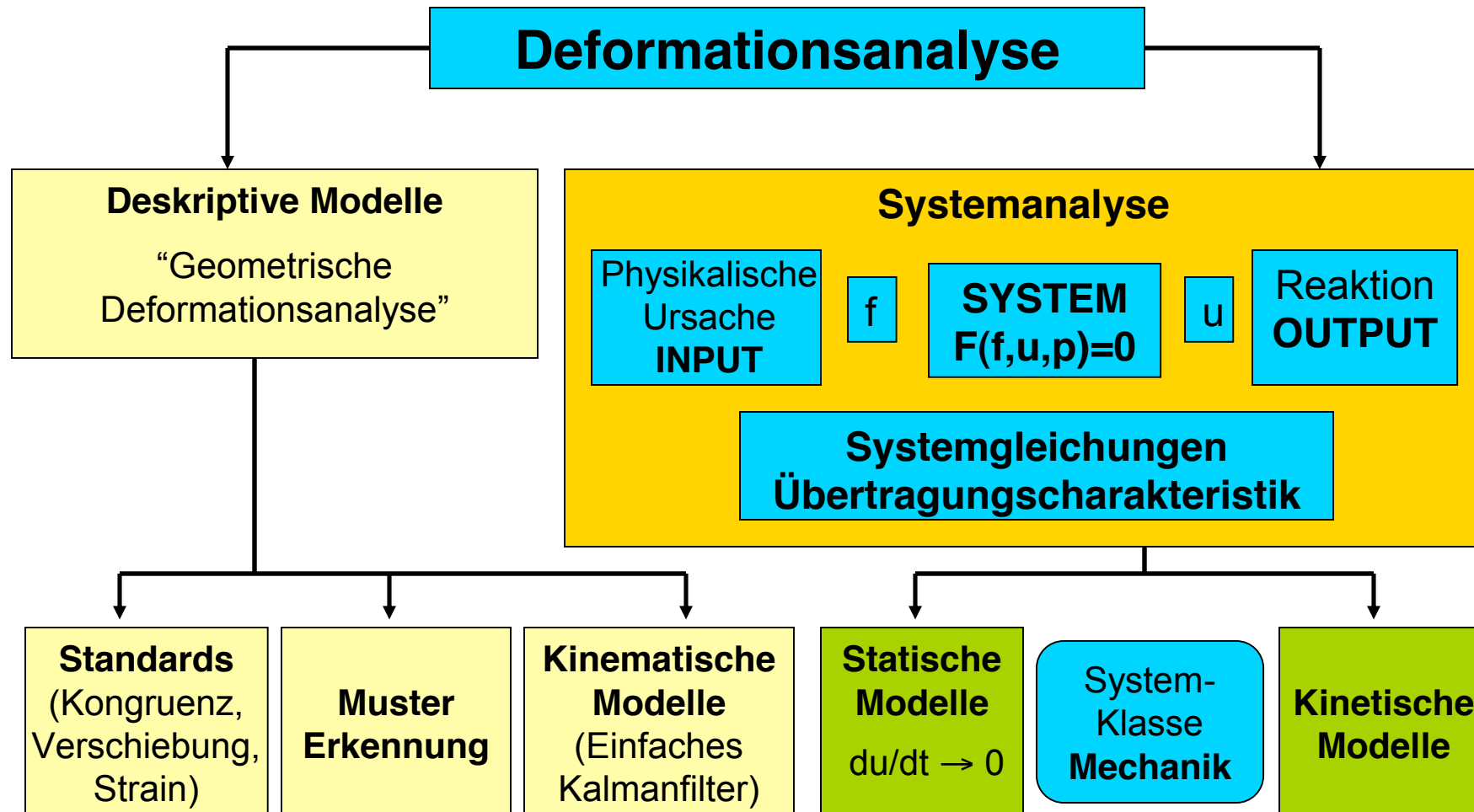
Reiner Jäger

www.goca.info

GOCA-Präsentation 230-Jahre-Feier MIIGAIK, 25.-27. Mai 2009

GOCA

Von deskriptiven Modellen zur Systemanalyse



Integrierte Systemanalyse-basierte Modellierung - FEM (Statisch)

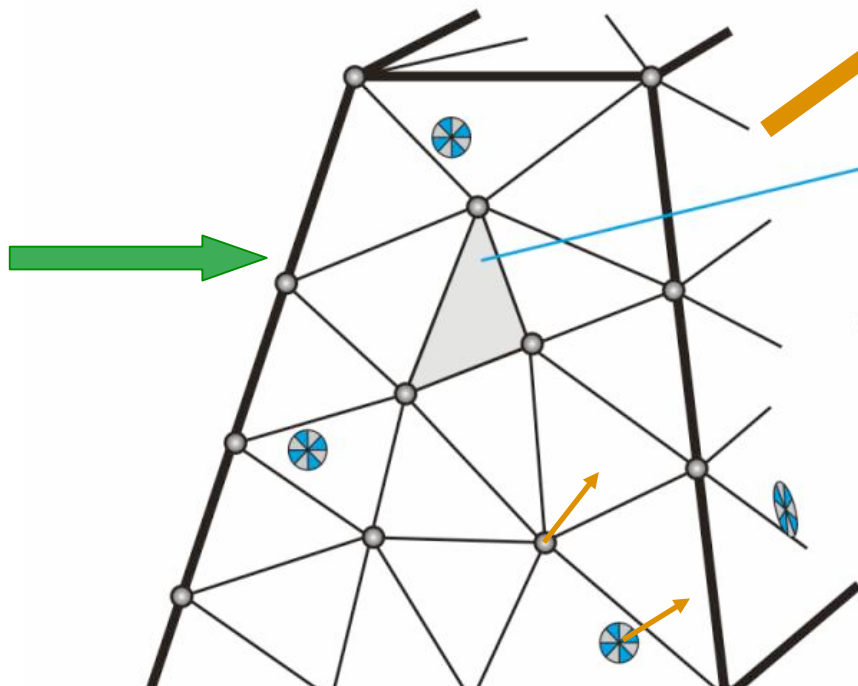
System-Gleichungen
 $K \cdot u = f$

$K(p, \Delta p)$

Steifigkeitsmatrix

p = Material Parameter

Δp = Änderungen (Schaden, z.B. Risse)



● Knoten des geodätischen Netzes
● Knoten des FE-Modells

FEM-Elemente

$$u_{i,E} = N_E \cdot \begin{pmatrix} u_1 \\ u_2 \\ u_3 \end{pmatrix} = N_E \cdot u_{E\text{-Nodes}}$$

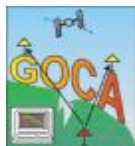
N_E = Formfunktionen

Geodätische Verschiebungen u_{geod}

$$u_{\text{geod}} = N_E(x_{\text{geod}}) \cdot \begin{pmatrix} u_1 \\ u_2 \\ u_3 \end{pmatrix} = N_E(x_{\text{geod}}) \cdot E \cdot u$$

E = (0,1)-Matrix => Geod. Design (FOD)

GOCA



Reiner Jäger

www.goca.info

GOCA-Präsentation 230-Jahre-Feier MIIGAIK, 25.-27. Mai 2009

Integrierte System Analysis basierte Modellierung - FEM (Static)

FEM- / System- Parts (Static) & Parameter-Integration

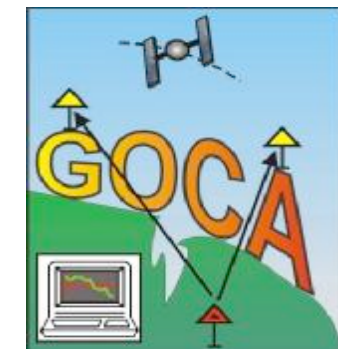
$$0_{\text{sys}} + v_{\text{sys}} = \hat{\mathbf{u}} - \mathbf{K}(\hat{\mathbf{p}}_k, \Delta \hat{\mathbf{p}})^{-1} \cdot \hat{\mathbf{f}} \quad \text{and} \quad \mathbf{C}_{\text{sys}} \Rightarrow 0$$

$$\mathbf{p}_k + v_p = \hat{\mathbf{p}}_k \quad \text{und} \quad \mathbf{C}_{p_k}$$

$$\mathbf{f} + v_f = \hat{\mathbf{f}} \quad \text{und} \quad \mathbf{C}_f$$

Geod. Monitoring & Network Adjustment

$$\mathbf{u}_{\text{geod}} + v_{\text{geod}} = \mathbf{N}_E \cdot \mathbf{E}_{\text{geod}} \cdot \hat{\mathbf{u}} \quad \text{and} \quad \mathbf{C}_{u,\text{geod}}$$



Sensor-Integration

$$\mathbf{l}_{\text{geom}} + v_{\text{geom}} = \mathbf{l}_{\text{geom}}(\mathbf{N}_E, \mathbf{E}_{\text{geom}}, \hat{\mathbf{u}}) \quad \text{and} \quad \mathbf{C}_{\text{geom}}$$

Local Extensiometers, Strain
 $\varepsilon = \mathbf{L} \cdot \mathbf{N}_E \cdot \mathbf{E}_{\text{geom}} \cdot \hat{\mathbf{u}}$

$$\mathbf{l}_{\text{phys}} + v_{\text{phys}} = \mathbf{l}_{\text{phys}}(\mathbf{N}_E, \mathbf{E}_{\text{phys}}, \hat{\mathbf{u}}, \hat{\mathbf{p}}_k, \Delta \hat{\mathbf{p}})$$

and \mathbf{C}_{phys}

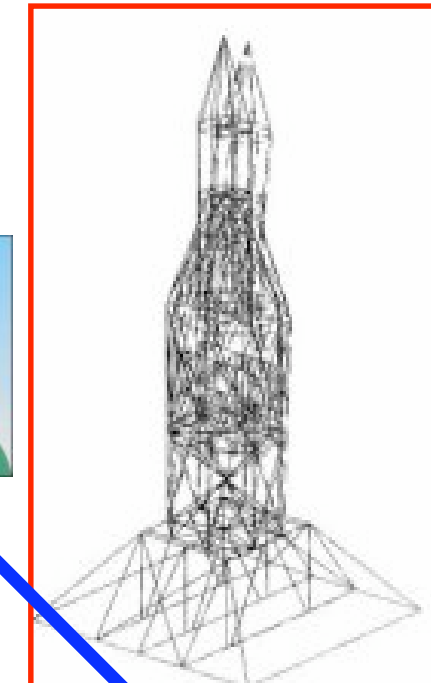
Local pressure, stress
 $\sigma = \mathbf{D}(\mathbf{p}_k) \cdot \mathbf{L} \cdot \mathbf{N}_E \cdot \mathbf{E}_{\text{phys}} \cdot \hat{\mathbf{u}}$



GOCA Stufe 3 - Kalmanfilterung („KAL-Files“)

Deskriptive Model – Simple Kalman-Filter

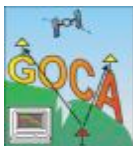
$$\begin{bmatrix} \mathbf{u}_O(t + \Delta t) \\ \dot{\mathbf{u}}_O(t + \Delta t) \\ \ddot{\mathbf{u}}_O(t + \Delta t) \end{bmatrix} = \begin{bmatrix} \mathbf{I} & [\Delta t] & \left[\frac{1}{2} \Delta t^2 \right] \\ 0 & \mathbf{I} & [\Delta t] \\ 0 & 0 & \mathbf{I} \end{bmatrix} \cdot \begin{bmatrix} \mathbf{u}_O(t) \\ \dot{\mathbf{u}}_O(t) \\ \ddot{\mathbf{u}}_O(t) \end{bmatrix}$$



Systemanalyse-Modell – Erweiterter Kalman- Filter

E.g. bei Eigenschwingungen:

$$\begin{bmatrix} \mathbf{u}_O(t + \Delta t) \\ \dot{\mathbf{u}}_O(t + \Delta t) \\ \ddot{\mathbf{u}}_O(t + \Delta t) \end{bmatrix} = \begin{bmatrix} \mathbf{I} & [\Delta t] & \left[\frac{1}{2} \Delta t^2 \right] \\ 0 & \mathbf{I} & [\Delta t] \\ 0 & [-\mathbf{M}(p_M)^{-1} \cdot \mathbf{K}(p_K) \cdot \Delta t] & [\mathbf{I} - \mathbf{M}(p_M)^{-1} \cdot \mathbf{C}(p_C) \cdot \Delta t] \end{bmatrix} \cdot \begin{bmatrix} \mathbf{u}_O(k) \\ \dot{\mathbf{u}}_O(k) \\ \ddot{\mathbf{u}}_O(k) \end{bmatrix}$$



Present Developments => GOCA and Laser Scanners

Correlated Topocentric (LAV) 3D coordinates



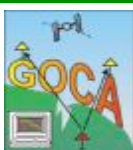
$$\mathbf{x}_{\text{LSCan}}^{\text{LAV}} = \begin{bmatrix} \Delta x_1 \\ \Delta x_2 \end{bmatrix}_{\text{LSCan}}^{\text{LAV}}$$

$$\text{and } \mathbf{C}_{\text{LSCan}}^{\text{LAV}} = \begin{bmatrix} C_{11} & C_{12} \\ C_{21} & C_{22} \end{bmatrix}$$

Transformation to ECEF

$$\Delta \mathbf{x}_{\text{LS}}^{\text{ECEF}} = \mathbf{R}_{\text{LAV}}^{\text{ECEF}}(\varphi_0, \lambda_0) \cdot \Delta \mathbf{x}_{\text{LSCan}}^{\text{LAV}}$$

$$\mathbf{R}_{\text{LAV}}^{\text{ECEF}}(\varphi, \lambda) = \begin{bmatrix} -\cos \lambda \cdot \sin \varphi & -\sin \lambda \cdot \sin \varphi & \cos \varphi \\ -\sin \lambda & \cos \lambda & 0 \\ \cos \lambda \cdot \cos \varphi & \sin \lambda \cdot \cos \varphi & \sin \varphi \end{bmatrix}^T$$



Reiner Jäger

www.goca.info

GOCA-Präsentation 230-Jahre-Feier MIIGAIK, 25.-27. Mai 2009



Present Developments => GOCA and Laser Scanners

Observation Equations for Laser Scanners in GOCA-SW

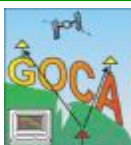
$$\begin{bmatrix} \Delta N(\varphi) \\ \Delta E(\lambda) \\ \Delta h \end{bmatrix}_{\text{LScan},1}^{\text{ECEF}} + \begin{bmatrix} v_N \\ v_E \\ v_h \end{bmatrix}_1 = \begin{bmatrix} \Delta N + \partial \Delta N(d\varphi(\mathbf{d})) \\ \Delta E + \partial \Delta E(d\lambda(\mathbf{d})) \\ \Delta h + \partial \Delta h(\mathbf{d}) \end{bmatrix} \quad \text{and } \mathbf{C}_{\text{LScan}}^{\text{ECEF}} = \begin{bmatrix} \mathbf{C}_{11} & \mathbf{C}_{12} \\ \mathbf{C}_{21} & \mathbf{C}_{22} \end{bmatrix}_{\text{LScan}}^{\text{ECEF}}$$

... Followed by „residual interpolation“ for x_2



$$\begin{bmatrix} v_{\Delta N} \\ v_{\Delta E} \\ v_{\Delta h} \end{bmatrix}_2 = \mathbf{C}_{21} \cdot \mathbf{C}_{22}^{-1} \cdot \begin{bmatrix} v_{\Delta N} \\ v_{\Delta E} \\ v_{\Delta h} \end{bmatrix}_1$$

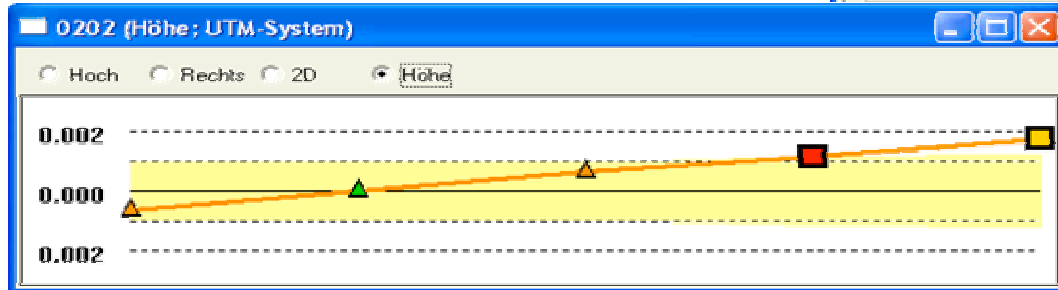
... Followed by strict georeferencing of x_2 in the monitoring frame using the parameters d



GNSS – Reference-Stations-Coordinate MONitoring KA Model - **MONIKA**

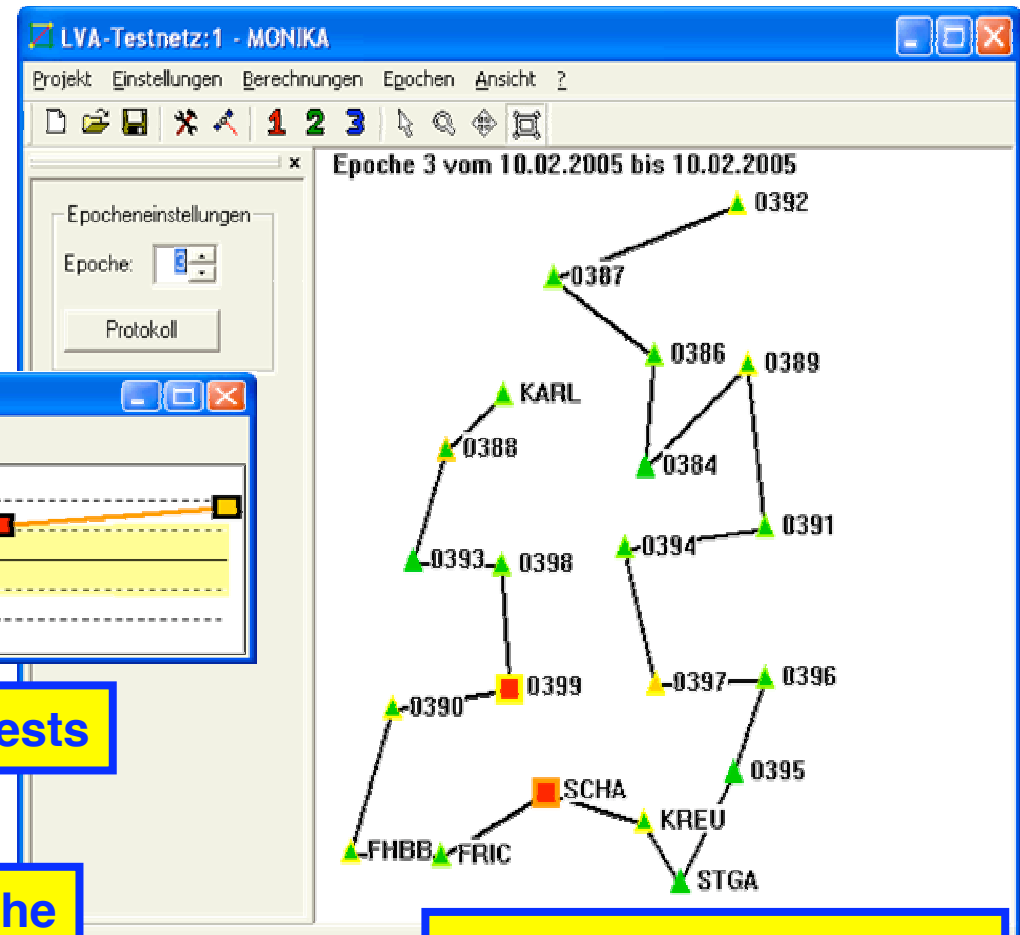
MONIKA Step 3 –

Coordinate related Reference-
Points Deformation Analysis

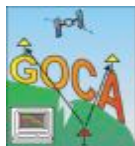


2.) Additionally: Object-Points + Tests

3.) Additionally: Full spectrum of the
Deformationsanalysis Features of
the GOCA-software (www.goca.info)



1.) Congruency Testing



Reiner Jäger

www.goca.info

GOCA-Präsentation 230-Jahre-Feier MIIGAIK, 25.-27. Mai 2009

GOCA

GOCA-Input-/Output-Schnittstellen

Sowohl die Input- als auch die verschiedenen Output-Schnittstellen der GOCA-Deformationsanalysesoftware basieren primär auf offenen Textdateien, welche auch einem Datenbank-basierten Konzept zugänglich sind. Input- und Output-Daten werden dabei wie im GNSS-Bereich üblich (z.B. RINEX-Files) als tageweise Dateien abgelegt. Das Format der Tagesdateien lautet entsprechend (yymmdd.<ext>, z.B. 060211.gka).

Input-Schnittstelle:

- **GKA-Dateien:** GOCA-Input für GNSS- und LPS-Daten (Online-, NearOnline-, Post-Processing)
- **RINEX** für NearOnline GNSS-Processing

Output-Schnittstellen:

- **FIN-Dateien:** GOCA-Output Ausgleichungsstufe 2 in Form der im Datum der Referenzpunkte georeferenzierten dreidimensionalen Objektpunktpositionen mit Kovarianzinformation und Zeitstempel.
- **ALR-Dateien:** GOCA-Output Ausgleichungsstufe 3 für nachgewiesene kritische Deformationen.
- **SHT-Dateien:** GOCA-Output Ausgleichungsstufe 3 für Online-Verschiebungsschätzungen
- **KAL-Dateien:** GOCA-Output Ausgleichungsstufe 3 für Kalmanfilterung.
- **MVE-Dateien:** GOCA-Output Ausgleichungsstufe 3 für gleitende Mittelwerte



GOCA-Input-Schnittstelle – GKA-Dateien

Die GOCA-Input-GKA-Datei enthält:

- Typkennung (z.B. #GOKA01 für GNSS-Baseline-Beobachtungen, #GOKA11 für LPS-Totalstationsbeobachtungen usw.)
- Je nach Typkennung Beobachtungsdaten der jeweiligen Sensoren, z.B für Tachymeter
 - Stand-/Zielpunkte
 - Schrägstrecken, Zenitdistanzen und Richtungen mit Genauigkeiten
- Zeitstempel (GPS-Woche, GPS-Tag und GPS-Zeit)

Spezifikation des Gesamtumfangs der GKA-Input-Schnittstelle im GOCA-Handbuch Version 4.0

Aus-
schnitt
aus einer
GOCA
GKA-
Datei:

```
Version40
#GOKA10
1000,,0,0,0.0000,5,5431236.7460,3455581.3020,142.5250
300,,0,0,0.0000,5,5431225.6000,3455587.8000,142.4800
302,,0,0,0.0000,5,5431242.0600,3455588.9100,142.4800
303,,0,0,0.0000,5,5431248.3200,3455589.3600,142.4800
#END10
#GOKA11
1000,,0,0,0,0.0000
300,,1385,2,228.0000,1,0,12.919653,0.000400,0.000000,399.999365,0.000090,100.236447,0.000090,0.000000
302,,1385,2,235.0000,1,0,9.290810,0.000400,0.000000,294.702323,0.000090,100.298499,0.000090,0.000000
303,,1385,2,241.0000,1,0,14.113067,0.000400,0.000000,272.182081,0.000090,100.206311,0.000090,0.000000
```



Reiner Jäger

www.goca.info

GOCA-Präsentation 230-Jahre-Feier MIIGAIK, 25.-27. Mai 2009



GOCA-Output-Schnittstelle – FIN-Dateien

Die aus der Ausgleichungsstufe 2 resultierenden FIN-Dateien enthalten:

- Punktkennung
- Dreidimensionale Objektpunktposition im Datum der Referenzpunkte
- Kovarianzinformation zur Objektpunktposition
- Zeitstempel

Ausschnitt
aus einer
GOCA FIN-
Datei:

6881	2535924.7377	5659643.7722	90.2752	53
0.00000276177716743021	0.00000080358719814112	0.0000000000 000000000000		
0.00000080358719814112	0.00000209546716903030	0.0000000000 000000000000		
0.00000000000000000000	0.00000000000000000000	0.00003504878833584970		
6820	2535948.4258	5659546.8113	89.4980	88
0.00000224793867985225	0.00000065272076904751	0.0000000000 000000000000		
0.00000065272076904751	0.00000173520258736198	0.0000000000 000000000000		
0.00000000000000000000	0.00000000000000000000	0.00002860963767930605		
6881	2535924.7384	5659643.7725	90.2720	88
0.00000257566226730015	0.00000074545256489817	0.0000000000 000000000000		
0.00000074545256489817	0.00000201632544756715	0.0000000000 000000000000		
0.00000000000000000000	0.00000000000000000000	0.00003285249592945346		
6820	2535948.4256	5659546.8140	89.5008	148
0.00000237113621584713	0.00000068481342210457	0.0000000000 000000000000		
0.00000068481342210457	0.00000189053146810365	0.0000000000 000000000000		
0.00000000000000000000	0.00000000000000000000	0.00003033002503336391		
6881	2535924.7374	5659643.7728	90.2715	174
0.00000221563803335190	0.00000064003642281972	0.0000000000 000000000000		
0.00000064003642281972	0.00000176213425146370	0.0000000000 000000000000		
0.00000000000000000000	0.00000000000000000000	0.00002833059322783813		



GOCA-Output-Schnittstelle – ALR-Dateien

Die aus der Ausgleichungsstufe 3 resultierenden ALR-Dateien enthalten:

- Punktkennung
- Zeitstempel
- Alartyp (gleitender Mittelwert, Verschiebungsschätzung, Kalmanfilter)
- Priorität
- Differenztyp, Schätzertyp (L1-/L2-Norm), Irrtumswahrscheinlichkeit, Krit. Wert, Testgrösse,
- Deformationswert

Ausschnitt aus einer GOCA ALR-Datei

```
#GOCA_ALARM,20041218082400,MP1,OnlineMveAve,10,$P0,3,0,0.000000,0.020000,0.000000,0.022145,E
#GOCA_ALARM,20041218082500,MP1,OnlineMveAve,10,$P0,3,0,0.000000,0.020000,0.000000,0.021740,E
#GOCA_ALARM,20041218082600,MP1,OnlineMveAve,10,$P0,3,0,0.000000,0.020000,0.000000,0.021191,E
#GOCA_ALARM,20041218082700,MP1,OnlineMveAve,10,$P0,3,0,0.000000,0.020000,0.000000,0.020358,E
#GOCA_ALARM,20041218080000,MP1,Epoch1_fix_Rest1.Sensoren,21,$P1,3,0,1.000000,0.002590,17.070794,0.020407,E
#GOCA_ALARM,20041218080000,MP1,Epoch1_fix_Rest1.Sensoren,26,$P1,3,0,1.000000,0.020000,0.000000,0.020407,E
#GOCA_ALARM,20041227173300,MP1,OnlineMveAve,10,$P0,0,0,0.000000,0.020000,0.000000,0.020053,E
#GOCA_ALARM,20041227173400,MP1,OnlineMveAve,10,$P0,0,0,0.000000,0.020000,0.000000,0.020066,E
#GOCA_ALARM,20041227173500,MP1,OnlineMveAve,10,$P0,0,0,0.000000,0.020000,0.000000,0.020159,E
#GOCA_ALARM,20041227173600,MP1,OnlineMveAve,10,$P0,0,0,0.000000,0.020000,0.000000,0.020090,E
#GOCA_ALARM,20041227173700,MP1,OnlineMveAve,10,$P0,0,0,0.000000,0.020000,0.000000,0.020319,E
#GOCA_ALARM,20041227170000,MP1,Epoch1_fix_Rest1.Sensoren,21,$P1,0,0,1.000000,0.002586,30.043586,0.021827,E
#GOCA_ALARM,20041227170000,MP1,Epoch1_fix_Rest1.Sensoren,26,$P1,0,0,1.000000,0.020000,0.000000,0.021827,E
#GOCA_ALARM,20041227173800,MP1,OnlineMveAve,10,$P0,0,0,0.000000,0.020000,0.000000,0.020853,E
#GOCA_ALARM,20041227173900,MP1,OnlineMveAve,10,$P0,0,0,0.000000,0.020000,0.000000,0.020987,E
#GOCA_ALARM,20041227174000,MP1,OnlineMveAve,10,$P0,0,0,0.000000,0.020000,0.000000,0.021025,E
```



GOCA-Output-Schnittstelle – SHT-Dateien

Die aus der Ausgleichungsstufe 3 resultierenden SHT-Dateien enthalten:

- Punktkennung
- Dreidimensionale Objektpunktposition im Datum der Referenzpunkte
- Zeitstempel
- Dreidimensionale Verschiebungen
- Alarmkennung für Lage und Höhe (0: kein Alarm, 1: Alarm wurde ausgelöst)

Ausschnitt aus einer GOCA SHT-Datei:

MP4	5467720.34829	5704626.71277	64.81314	3600
	0.00044	0.00135	-0.00343	
	0		0	
MP3	5467760.55467	5704663.92850	64.67952	3600
	-0.00071	0.00077	-0.00410	
	0		0	
MP1	5468039.52083	5704437.19274	65.72307	3600
	-0.00087	0.00122	0.00236	
	0		0	
MP4	5467720.34767	5704626.71128	64.82344	7200
	-0.00018	-0.00013	0.00687	
	0		0	
MP3	5467760.55486	5704663.92588	64.68587	7200
	-0.00052	-0.00185	0.00226	
	0		0	

